

1

2

3

4

5

6

7

8

9

10

11

12

13

14

15

16

17

18

**資料 3－2**

# 宮城県第五次地震被害想定調査

## 報告書

(案)

令和5年 月

宮城県防災会議地震対策等専門部会

## 目次

1	1. はじめに .....	1
2	1.1. 宮城県第五次地震被害想定調査について .....	1
3	1.2. 調査概要 .....	2
4	1.2.1. 本調査の概要、活用方法 .....	2
5	1.2.2. 調査体制 .....	2
6	1.2.3. 本調査実施のポイント .....	4
7	1.2.4. 国（内閣府）の調査との比較 .....	6
8	2. 地震動・津波の計算 .....	7
9	2.1. 東日本大震災前後の地震・津波環境 .....	7
10	2.1.1. 県土の概要と東日本大震災以前の地震・津波防災対策 .....	7
11	2.1.1.1. 地形・地質 .....	7
12	2.1.1.2. 活断層 .....	7
13	2.1.1.3. 東日本大震災以前の地震被害 .....	9
14	2.1.1.4. 東日本大震災以前の津波被害 .....	9
15	2.1.1.5. 東日本大震災以前の防災対策 .....	9
16	2.1.2. 東日本大震災の概況 .....	13
17	2.1.3. 東日本大震災以後の地震・津波防災対策 .....	26
18	2.2. 宮城県に大きな被害をもたらす地震 .....	29
19	2.2.1. 目的 .....	29
20	2.2.2. 地震本部による長期評価 .....	29
21	2.2.3. 国による検討 .....	31
22	2.2.4. 宮城県に大きな被害をもたらす地震 .....	32
23	2.3. 被害想定の対象とする地震の選定 .....	33
24	2.3.1. 基本的な考え方 .....	33
25	2.3.2. 最大クラスの地震 .....	33
26	2.3.3. その他の地震 .....	33
27	2.4. 地震動・液状化の予測 .....	35
28	2.4.1. 地震動の予測 .....	35
29	2.4.1.1. 検討の流れ .....	35
30	2.4.1.2. 震源～工学的基盤までの地震動予測手法 .....	36
31	2.4.1.3. 地表震度の算定 .....	38
32	2.4.1.4. 地盤モデル .....	38
33	2.4.1.5. 強震断層パラメータ .....	46

1	2.4.1.6.	計算結果と評価①東北地方太平洋沖地震.....	55
2	2.4.1.7.	その他 .....	60
3	2.4.1.8.	参考図（その他の計算結果） .....	62
4	2.4.2.	液状化計算 .....	90
5	2.4.2.1.	液状化予測手法.....	90
6	2.4.2.2.	計算結果.....	95
7	2.5.	津波の予測 .....	99
8	2.5.1.	概要 .....	99
9	2.5.2.	波源断層パラメータの設定.....	99
10	2.5.3.	計算結果（最大クラスの津波浸水想定との比較） .....	102
11	3.	被害の予測 .....	105
12	3.1.	基本的な考え方.....	105
13	3.1.1.	概要 .....	105
14	3.1.2.	被害想定の前提とする外力.....	105
15	3.1.3.	想定するシーン .....	106
16	3.2.	建物被害の予測.....	109
17	3.2.1.	建物データ整理の概要.....	109
18	3.2.2.	建物データ作成の結果.....	109
19	3.2.3.	建物被害の想定手法.....	115
20	3.2.4.	液状化による全半壊棟数.....	117
21	3.2.5.	揺れによる全半壊棟数.....	125
22	3.2.6.	急傾斜地崩壊による全半壊数.....	133
23	3.2.7.	津波による全半壊棟数.....	136
24	3.2.8.	地震火災による焼失棟数.....	143
25	3.2.9.	津波火災による出火件数.....	152
26	3.2.10.	ブロック塀等の転倒箇所数.....	154
27	3.2.11.	自動販売機の転倒箇所数.....	156
28	3.2.12.	屋外落下物の発生数.....	157
29	3.2.13.	建物被害の予測結果総括.....	158
30	3.2.13.1.	想定結果.....	159
31	3.3.	人的被害の予測.....	184
32	3.3.1.	人的被害想定と人口データについて.....	184
33	3.3.2.	建物倒壊による死傷者数.....	190
34	3.3.3.	揺れによる建物被害に伴う要救助者数（自力脱出困難者） .....	208
35	3.3.4.	急傾斜地崩壊による死傷者数.....	213
36	3.3.5.	津波による死傷者数.....	217

1	3.3.6.	火災による死傷者数.....	238
2	3.3.7.	ブロック塀等の転倒による死傷者数.....	255
3	3.3.8.	自動販売機の転倒による死傷者数.....	256
4	3.3.9.	屋外落下物による死傷者数.....	257
5	3.3.10.	屋内収容物移動・転倒、屋内落下物による死傷者数.....	258
6	3.3.11.	人的被害の予測結果総括.....	263
7	3.3.11.1.	想定結果.....	264
8	3.4.	生活支障等の予測.....	302
9	3.4.1.	上水道 .....	302
10	3.4.2.	下水道 .....	308
11	3.4.3.	電力 .....	314
12	3.4.4.	通信 .....	320
13	3.4.5.	都市ガス .....	326
14	3.4.6.	避難者 .....	333
15	3.4.7.	物資 .....	350
16	3.4.8.	要配慮者 .....	362
17	3.4.9.	緊急輸送道路.....	366
18	3.4.10.	道路閉塞 .....	369
19	3.4.11.	鉄道 .....	375
20	3.5.	その他の予測.....	377
21	3.5.1.	防災上の重要施設における震度・浸水深.....	377
22	3.5.2.	災害廃棄物 .....	434
23	3.5.3.	経済的被害の予測.....	438
24	3.5.4.	定性的な被害の予測（災害シナリオ） .....	442
25	4.	防災対策・減災目標の検討.....	451
26	4.1.	目的 .....	451
27	4.2.	国の状況 .....	452
28	4.3.	県の状況 .....	453
29	4.3.1.	津波対策に関する状況.....	453
30	4.3.2.	揺れ・火災対策に関する状況.....	454
31	4.4.	防災対策・減災目標.....	456
32	4.4.1.	防災対策上の今後の課題.....	456
33	4.4.2.	減災目標の検討.....	457
34	5.	おわりに .....	459
35		参考文献 .....	461
36			

**黒着色**：中間報告書からの変更点  
(句読点やページ番号の修正、文言の整理など軽微なものを除く。)

- 1
- 2 (別添)
- 3 工学的基盤における地震波形データ
- 4 GIS データ
  - 5 • 地表震度
  - 6 • 液状化危険度
  - 7 • 津波浸水深
  - 8 • 人口・建物データ
  - 9 • 被害データ
- 10

**黒着色**：中間報告書からの変更点  
(句読点やページ番号の修正、文言の整理など軽微なものを除く。)

1    1. はじめに

2    1.1. 宮城県第五次地震被害想定調査について

3

4    2011年（平成23年）3月11日に発生した2011年（平成23年）東北地方太平洋沖地震（以下  
5 「東北地方太平洋沖地震」という。）と地震に伴い発生した大津波は、人知を超えた猛威をふるい、  
6 県内で死者（直接死・関連死）1万人を超える多くの人命を奪い、県土及び県民の財産に甚大な被  
7 害を与えた、未曾有の大災害（以下「東日本大震災」という。）であった。

8

9    本県ではこれまで、1978年（昭和53年）の宮城県沖地震を契機として着手した地震被害想定調  
10 査（以下「第一次調査」という。）にはじまり、1995年（平成7年）の阪神・淡路大震災により内  
11 陸直下型地震への対策の必要性が明らかになったことを受けて実施した地震被害想定調査（以下  
12 「第二次調査」という。）、2000年（平成12年）に政府の地震調査研究推進本部（以下「地震本  
13 部」という。）により、宮城県沖地震の発生確率が極めて高いと評価されたことに伴う地震被害想  
14 定調査（以下「第三次調査」という。）を実施し、県地域防災計画の修正、みやぎ震災対策アクシ  
15 ョンプラン等の県施策への活用、また市町村へのフィードバックによる市町村地域防災計画等に  
16 活用が図られた。

17

18    その後、2008年（平成20年）12月に国の中防災会議において日本海溝・千島海溝周辺海溝  
19 型地震の地震防災戦略が公表され、これに対応した減災目標を策定する必要が生じたことから  
20 2010年度（平成22年度）に新たな地震被害想定調査（以下「第四次調査」という。）に着手した。  
21 しかし、中間報告とりまとめについておおむね了解を得たところで東日本大震災が発生し、被害  
22 想定対象の社会条件が大きく変化したことから中間報告書をもって同調査を終了することとした。

23

24    このたび、被災市町村において復興に向けたまちづくりがある程度進展したと判断されたこと  
25 から2021年度（令和3年度）から2023年度（令和5年度）の3か年にかけて第五次地震被害想  
26 定調査（以下「本調査」という。）を実施することとし、報告書（以下「本報告書」という。）とし  
27 てその結果を取りまとめたものである。

28

29    本報告書はこの冊子（本編）に加え、概要版と添付資料から構成されており、利用者の分かり  
30 やすさ、使いやすさに配慮した。地震・津波防災に尽力されている関係各位において本報告書を  
31 広く活用していただき、災害に強い社会の構築に向けた一助としていただければ幸いである。

**黒着色**：中間報告書からの変更点  
(句読点やページ番号の修正、文言の整理など軽微なものを除く。)

## 1.2. 調査概要

### 1.2.1. 本調査の概要、活用方法

本調査は、中央防災会議の防災基本計画や本県の震災対策推進条例、地域防災計画等に基づき、県内に大規模な被害をもたらす地震を想定した以下の調査を実施するものである。なお、250m四方の区画（メッシュ）を単位としたマクロ的な（巨視的）な調査であり、個別の場所・施設の安全性を照査するものではない。

- 調査期間 2021年度（令和3年度）から2023年度（令和5年度）まで
  - 調査区域 宮城県全域
  - 実施項目
    - 地震動・津波の計算 … 中間報告書
    - 人的被害、物的被害等の想定
    - 防災対策・減災目標の検討

## 防災基本計画（中央防災会議）

## 地震災害対策編第1章 及び 津波災害対策編第1章

国及び地方公共団体は、被害の全体像の明確化及び広域的な防災対策の立案の基礎とするため、具体的な被害を算定する被害想定を行うものとする。

## 震災対策推進条例（平成20年10月23日）

第十二条 県は、大学その他の研究機関等と連携し、震災の発生状況及び発生原因、震災による被害の見込みその他震災に関する事項について科学的な調査を行うよう努めなければならない。

本調査の結果は、関係機関が行う事前防災対策における基礎資料として活用していただくほか、県民の防災意識向上の一助とする。また、本調査結果に基づき、県地域防災計画の修正や震災後初となるみやぎ震災対策アクションプラン策定を行い、全県一体となった震災対策の推進につなげるものである。

### 1.2.2. 調査体制

本調査に係る調査方法・評価等に関する専門的事項の指導・助言を受けるため、宮城県防災会議の下部組織として、学識経験者及びライフライン等関係機関の職員で構成する「地震対策等専門部会」を設置した。主な検討事項及び構成員は以下のとおりである。委員名簿と審議経過（表1及び表2）は次ページのとおり。

**黒着色：中間報告書からの変更点**  
 (句読点やページ番号の修正、文言の整理など軽微なものを除く。)

表 1 宮城県防災会議地震対策等専門部会 委員名簿

専門委員（学識経験者）

長谷川 昭（座長）	東北大学名誉教授（地震学）
今村 文彦	東北大学災害科学国際研究所 教授（津波工学）
運上 茂樹	東北大学大学院工学研究科 教授（構造工学）
風間 基樹	東北大学大学院工学研究科 教授（地盤工学）
遠田 晋次	東北大学災害科学国際研究所 教授（地震地質学）
増田 聰	東北大学大学院経済学研究科 教授（地域計画）
松澤 暉	東北大学大学院理学研究科 教授（地震学）
源栄 正人	東北大学名誉教授（地震工学）

専門委員（ライフライン等関係機関）

大友 辰男（～第2回）	仙台市ガス局製造供給部長
加藤 弘道（第3回～）	仙台市ガス局供給部長
菊池 勝元	東北電力ネットワーク（株）宮城支社副支社長
佐藤 勇悦	東日本電信電話（株）宮城事業部災害対策室長
藤井 玄（～第3回）	東日本旅客鉄道（株）仙台支社総務部安全企画室長
蓬田 祐史（第4回～）	東日本旅客鉄道（株）東北本部総務部安全企画室長
小野寺瑞穂（～第2回）	宮城県環境生活部食と暮らしの安全推進課長
吉岡 幸信（第3回～）	
中嶋 吉則	宮城県土木部都市計画課長
田代 浩次（～第2回）	宮城県企業局水道経営課長
大沼 伸（第3回～）	

専門委員（国の機関）

岡本 頣（～第2回）	第二管区海上保安本部海洋情報部長
高江洲 剛（第3～5回）	
片桐 康孝（第6回）	仙台管区気象台気象防災部地震情報官
高濱 聰（～第5回）	
武田 清史（第6回）	東北地方整備局防災対策技術分析官
平山 孝信（～第5回）	
八木 恵里（第6回）	

防災会議委員

佐藤 達哉（～第5回）	宮城県復興・危機管理部長
千葉 章（第6回）	

表 2 審議経過

開催日・回数		主な検討事項	備考
第1回	2021年（令和3年）7月28日（水）	調査方針	検討開始
第2回	2022年（令和4年）2月4日（金）	対象地震選定	
第3回	2022年（令和4年）8月25日（木）	地震動・津波計算	
第4回	2022年（令和4年）12月22日（木）	人的・建物被害	中間報告
第5回	2023年（令和5年）3月22日（水）	施設被害、被害額	
第6回	2023年（令和5年）8月23日（水）	防災対策、減災目標	最終報告

**黒着色**：中間報告書からの変更点

(句読点やページ番号の修正、文言の整理など軽微なものを除く。)

1    1.2.3. 本調査実施のポイント

2    これまで本県では、1978年（昭和53年）宮城県沖地震や1995年（平成7年）阪神・淡路大震  
3 災（兵庫県南部地震）などを契機に、4回の地震被害想定調査を実施し、防災対策に活用してきた  
4 （表3）ものの、想定地震は宮城県沖地震（連動型）など最大でもM（マグニチュード、地震の  
5 規模を示す指標）8クラスのものであった。

6

7    表3 これまで本県が実施した地震被害想定調査と対象地震

	契機	対象地震
第一次調査 1984(S59)～1986(S61) ※1979(S54)～1983(S58)で 地震地盤図を作成	1978年（昭和53年）の宮城県沖 地震で甚大な被害が発生したた め。	宮城県北部想定地震 宮城県沖地震（単独型） 福島県沖地震
第二次調査 1995(H7)～1996(H8)	1995年（平成7年）の阪神淡路 大震災により、内陸直下型地震 への対策の必要性が明らかにな ったため。	宮城県沖地震（単独型） 長町 - 利府線断層帯地震
第三次調査 2002(H14)～2003(H15)	2000年（平成12年）に地震本部 が公表した評価で、宮城県沖地 震の発生確率が極めて高い（今 後30年以内の発生確率99%）と されたため。	宮城県沖地震（単独型） 宮城県沖地震（連動型） 昭和三陸地震（津波のみ） 長町 - 利府線断層帯地震
第四次調査 2010(H22)～2011(H23) ※東日本大震災で中断	2008年（平成20年）に中央防災 会議が公表した「地震防災戦略」 により、人的・物的被害に関する 減災目標を設定する必要が生じ たため。	宮城県沖地震（単独型） 宮城県沖地震（連動型） 明治三陸地震（津波のみ） 長町 - 利府線断層帯地震
本調査 2021(R3)～2023(R5) (予定)	東日本大震災で甚大な被害が発 生したため。 東日本大震災からの復旧・復興 後の状況を反映した被害想定を 行う必要があるため。	東北地方太平洋沖地震 宮城県沖地震（連動型） スラブ内地震 長町 - 利府線断層帯地震

8

9    東日本大震災はこの想定を超えるM9.0という最大クラスの地震であった。そのため、本調査で  
10 はこのような最大クラスの地震を対象に加える。また、過去に発生した証拠が無くても、今後宮  
11 城県に大きな被害をもたらす可能性が高い地震について検討し、対象地震を選定する。

12    さらに中間報告で終了となった第四次調査を除くと、前回の第三次調査から約20年の期間が経  
13 過していることや、その間の東日本大震災の復旧・復興により、地震・津波防災をとりまく県土  
14 の様相が大きく変わっているため、それらを適切に考慮・反映した調査とする。また、被害想定  
15 の精度を高めるため、計算手法や用いるデータには可能な限り最新の知見を盛り込むこととする。

16

**黒着色**：中間報告書からの変更点

(句読点やページ番号の修正、文言の整理など軽微なものを除く。)

1      被害想定は国や各都道府県等で広く行われているが、宮城県の独自性として以下の点が挙げら  
2      れる。

3

4      ・東日本大震災以降に整備した防潮堤やまちづくり等を反映した被害想定を行うことにより、  
5      宮城県沖地震（運動型）などにより発生する比較的頻度の高い津波（レベル1津波）に対する  
6      安全度が大きく向上したことが数値で示された。】

7

8      ・東日本大震災以降に頻発しているスラブ内地震を想定地震に追加。

9

10     ・他県よりもすでに一步進んだ地点をスタートとした減災目標の設定。

11

12     ・宮城県は、津波対策（防潮堤、まちづくり）や地震対策（耐震化率）が他都道府県と比較  
13     して大きく進んでいる。

14

15     ・そのなかでさらに被害を減らすための目標を今回積極的に設定している。また、他の都道  
16     府県が今後次なる防災対策を検討する上でも参考になるものと期待している。

17

18     一方で、東日本大震災の余震などによる建物の耐力低下（以下、累積疲労という。）など、被  
19     害想定で定量的に見込めていない部分もある。

20

**黒着色**：中間報告書からの変更点

(句読点やページ番号の修正、文言の整理など軽微なものを除く。)

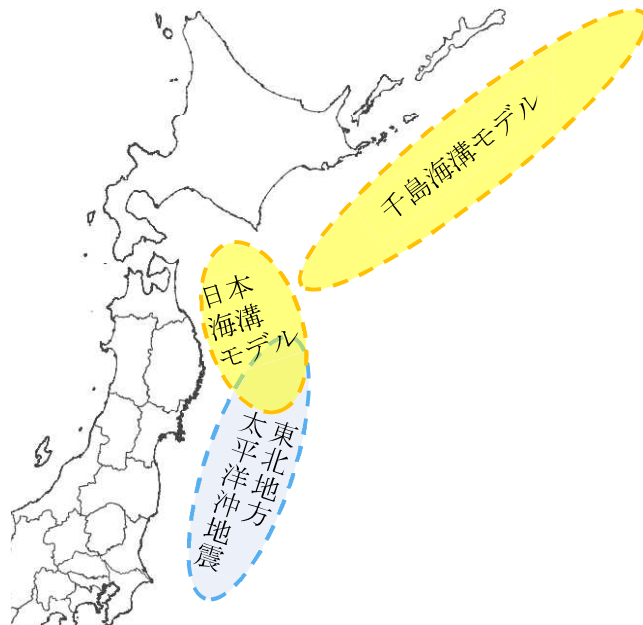
1    1.2.4. 国（内閣府）の調査との比較

2       被害想定調査は国（内閣府）でも実施しており、2021年（令和3年）12月に日本海溝・千島海  
3       溝沿いで想定される2つの最大クラスの津波（日本海溝モデル（Mw（モーメントマグニチュード）  
4       9.1）、千島海溝モデル（Mw9.3））を対象とした被害想定を公表している（図1黄色）。この被害想  
5       定調査は、主に国全体の視点で防災対策立案を行うために実施されたものである。

6       これに対して本調査は、このような国（内閣府）の動きも踏まえ、本県にとって最も大きな津  
7       波被害をもたらす東北地方太平洋沖地震を追加して実施している（図1青色）。なお、本県はこの  
8       3つの地震を含めた最大クラスの津波浸水想定区域図を2022年（令和4年）5月に公表しており、  
9       本調査ではこれを活用した被害想定を行う。

10      それ以外により頻度が高い地震に対しても適切な防災対策を講じることが可能になるよう、本  
11      県の実情に応じた3つの地震を選定し、計4つの地震を対象とした被害想定を実施する。

12



13

14

15      図1 最大クラスの津波の波源位置

**黒着色**：中間報告書からの変更点  
(句読点やページ番号の修正、文言の整理など軽微なものを除く。)

## 2. 地震動・津波の計算

### 2.1. 東日本大震災前後の地震・津波環境

#### 2.1.1. 県土の概要と東日本大震災以前の地震・津波防災対策

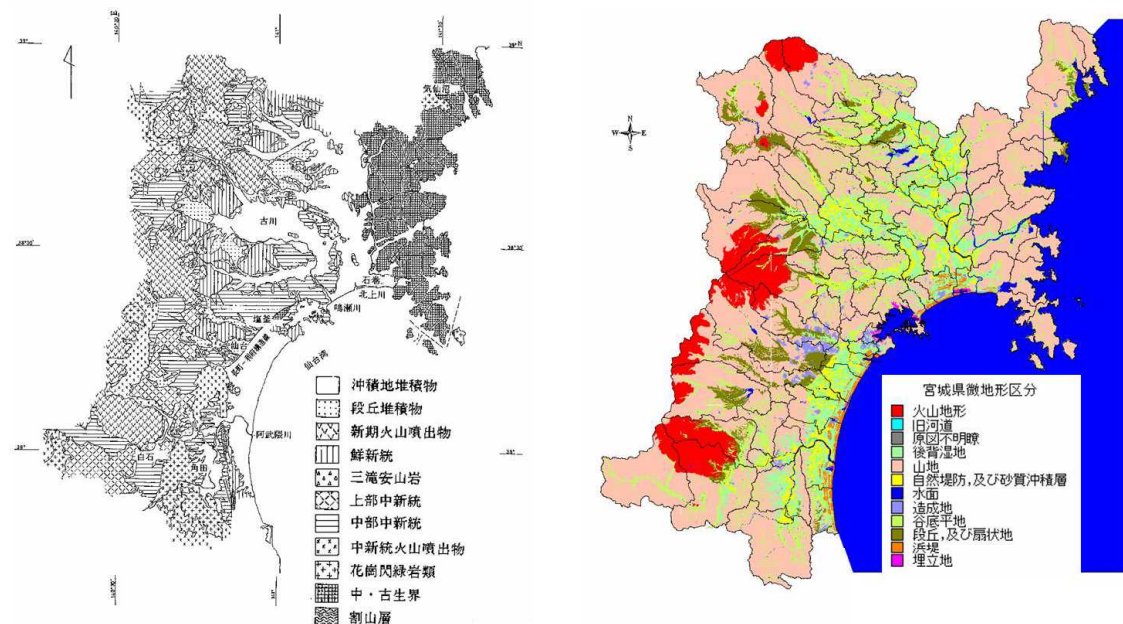
##### 2.1.1.1. 地形・地質

宮城県は三陸沿岸の南端に位置し、牡鹿半島を境に北は典型的なリアス海岸が、南は浅い海底が続いている。地形・地質は、大きく以下の4つの地域に分けることができる（図2）。

①北上高地 ②阿武隈高地 ③奥羽山脈とその東側の丘陵 ④中央低地

平野と丘陵部は人口密集地であり、しかも沖積層は一般に著しく軟弱であるためその分布、厚さ及び岩相は重要である。

10



宮城県 (1980)

国土地理院

図2 宮城県の地質分布及び地形分布

##### 2.1.1.2. 活断層

表4及び図3は、宮城県内の活断層の一覧を示したものである。後述するように、この中から宮城県に大きな被害をもたらす地震として、利府町から仙台市を経て村田町にかけて概ね北東-南西方向に延びている長町-利府線断層帯を選定するが、この断層帯は、過去4~5万年間に少なくとも3回活動したと推定され、地震本部の長期評価によれば、今後30年の間に地震が発生する可能性が我が国の主な活断層の中ではやや高いグループに属する。

23

24

25

26

27

28

**黒着色**：中間報告書からの変更点

(句読点やページ番号の修正、文言の整理など軽微なものを除く。)

1

表 4 宮城県内の活断層一覧

断層番号	断層名	確実度	活動度	長さ(km)
①	長町一利府線	I	B	12
②	大年寺山断層	I	B	8
③	鹿落坂断層	I	C	3
④	坪沼断層	I	B	5
⑤	円田断層	II	B	10
⑥	愛子断層	I	B	2
⑦	作並一屋敷平断層	I	C	9
⑧	遠刈田一三住	II	C	7
⑨	白石断層	I	B	2.5
⑩	上品山西	III		4
⑪	加護坊山一籠岳山	III		12
⑫	旭山撓曲	II	B～C	8
⑬	鹿折川	III		15
⑭	栗駒山山頂断層	I	B	1、2
⑮	揚石山南	II	B	3
⑯	鬼首断層	I	B	6
⑰	双葉断層 [小斎峠付近]	II	B	5
⑱	越河断層	I	B	15

確実度 I : 活断層であることが確実なもの

## 活動度

#### A：第四紀の平均変位速度

1~10m/1000年

## II：活断層であると推定されるもの

### B : 第四紀の平均変位速度

0.1~1m/1000年

### III：活断層の可能性があるもの

C : 第四紀の平均変位速度

近现代研究会编

活断層研究会編(1991)

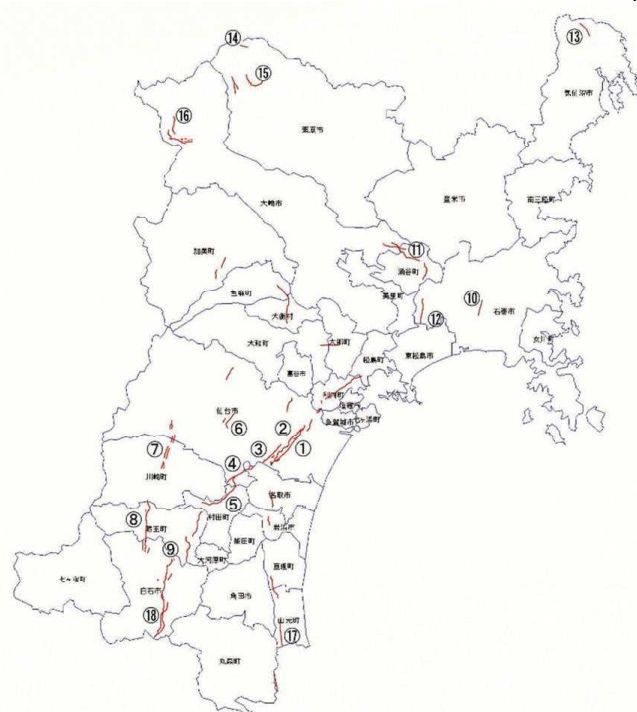


図 3 宮城県内の活断層の分布

**黒着色**：中間報告書からの変更点  
(句読点やページ番号の修正、文言の整理など軽微なものを除く。)

1    2.1.1.3. 東日本大震災以前の地震被害

2  
3    表 5、図 4 に宮城県に被害を及ぼした主な地震を示す。太平洋沖合では、1896 年（明治 29 年）  
4    の明治三陸地震（M8.2）や 1933 年（昭和 8 年）の昭和三陸地震（M8.1）のように M8 クラスの  
5    巨大地震が発生することがある。1978 年（昭和 53 年）の宮城県沖地震（M7.4）の際には、丘陵  
6    を造成した宅地に大きな被害が生じ、さらに、ガス、水道、電気などのライフラインの被害による  
7    市民生活に混乱が生じるなど、都市型の災害が生じた。地震が発生した海域付近では、およそ  
8    40 年間隔で同程度の規模の地震が発生している。

9    陸域の地震としては、2003 年（平成 15 年）に発生した宮城北部地震（M6.4）、2008 年（平成 20  
10 年）に発生した岩手・宮城内陸地震（M7.2）で甚大な被害が生じている。

11    2.1.1.4. 東日本大震災以前の津波被害

12    表 6 に宮城県沖における主な津波災害を示す。1896 年（明治 29 年）の明治三陸地震津波、  
13    1933 年（昭和 8 年）の昭和三陸地震津波や 1960 年（昭和 35 年）のチリ地震津波など幾度もの  
14    津波による災害を経験し、特にリアス海岸の気仙沼市、女川町、志津川町（現南三陸町）での被  
15    害が大きかった。

16    2.1.1.5. 東日本大震災以前の防災対策

17    本県では、これら過去数百年間程度の災害実績を基本に地震・津波防災対策を推進しており、  
18    その基礎資料として地震被害想定調査を 4 回実施してきた。特に、当時 30 年以内の発生確率が  
19    99% と再来確率が極めて高いとされていた宮城県沖地震（連動型の場合 M8.0）を念頭に置いた被  
20    害想定と防災対策を進めていた（表 3）。

21    しかし、2011 年（平成 23 年）3 月 11 日の東日本大震災は、その想定を超える地震動・津波で  
22    あり家屋、ライフライン、インフラ等が甚大な被害を受け、当時進めていた第四次調査を継続す  
23    ることができなくなったことから、2012 年（平成 24 年）3 月の中間報告書をもって終了すること  
24    とした。

**黒着色**：中間報告書からの変更点

(句読点やページ番号の修正、文言の整理など軽微なものを除く。)

1  
2  
3

表 5 宮城県に被害を及ぼした主な地震

西暦(和暦)	地域(名称)	M	主な被害	被害の出典
869.7.13 (貞觀11)	三陸沿岸	8.3	(家屋倒壊、圧死者多く、津波により多賀城下で溺死者1,000。)	宮城県
1611.12.2 (慶長16)	三陸沿岸及び北海道東岸	8.1	(津波があり、伊達領で溺死者1、783、南部、津軽で人馬の死3,000以上。)	新編日本被害地震総覧
1646.6.9 (正保3)	陸前・岩代・下野	6.5 ～ 6.7	仙台城・白石城で被害。	理科年表
1793.2.17 (寛政5)	陸前・陸中・磐城	8～ 8.4	仙台藩で死者12、家屋破損1,060以上。	新編日本被害地震総覧
1835.7.20 (天保6)	仙台	7	仙台城石垣破損。	新編日本被害地震総覧
1896.6.15 (明治29)	(明治三陸地震)	8.2	津波による被害。死者3,452、負傷者1,241、家屋倒壊854、同流出3,121。	新編日本被害地震総覧
1900.5.12 (明治33)	宮城県北部	7.0	遠田郡で被害最大。死者13、負傷者4、家屋全壊44。	新編日本被害地震総覧
1933.3.3 (昭和8)	(三陸地震)	8.1	津波による被害。死者・行方不明308、負傷者145、家屋倒壊528、同流出950。	新編日本被害地震総覧
1960.5.23 (昭和35)	(チリ地震津波)	9.5	津波による被害。死者・行方不明54、負傷者641、建物全壊977、建物流失434。	新編日本被害地震総覧
1962.4.30 (昭和37)	(宮城県北部地震)	6.5	田尻町、南方村を中心には被害。死者3、負傷者272、住家全壊340。	新編日本被害地震総覧
1978.6.12 (昭和53)	(1978年宮城県沖地震)	7.4	死者27、負傷者1、273、住家全壊1、180。	新編日本被害地震総覧
2003.5.26 (平成15)	宮城県沖	7.1	重軽傷者64、住家半壊11、一部破損1、033。	宮城県 (H15.6.19最終報)
2003.7.26 (平成15)	宮城県北部	6.4	重軽傷者675、住家全壊1、276、半壊3、809、一部破損10,975。	宮城県 (H16.3.12確定報)
2005.8.16 (平成17)	宮城県沖	7.2	負傷者79。	宮城県 (H17.7.27確定報)
2008.6.14 (平成20)	平成20年(2008年) 岩手・宮城内陸地震	7.2	死者14、負傷者365、住家全壊28、半壊141、一部破損1,733。	宮城県 (H23.4.29現在)

**黒着色**：中間報告書からの変更点

(句読点やページ番号の修正、文言の整理など軽微なものを除く。)

西暦(和暦)	地域(名称)	M	主な被害	被害の出典
2011.3.11 (平成23)	平成23年 (2011年) 東北地方太平洋沖 地震	9.0	死者10,570、行方不明者1,215、住 家全壊83,005。	宮城県 (R5.2.28現在)
2011.4.7 (平成23)	宮城県沖 (東北地方 太平洋沖地震の余 震)	7.2		
2021.2.13 (令和3)	福島県沖	7.3		
2021.3.20 (令和3)	宮城県沖	6.9	重軽傷者73、住家全壊5、半壊132、 一部破損14,116。	宮城県 (R3.5.28現在)
2022.3.16 (令和4)	福島県沖	7.4	死者2、重軽傷者108、住家全壊51、 半壊616、一部損壊21,839	宮城県 (R4.6.17現在)

地震調査研究推進本部地震調査委員会編(2009)に加筆

1  
2  
3

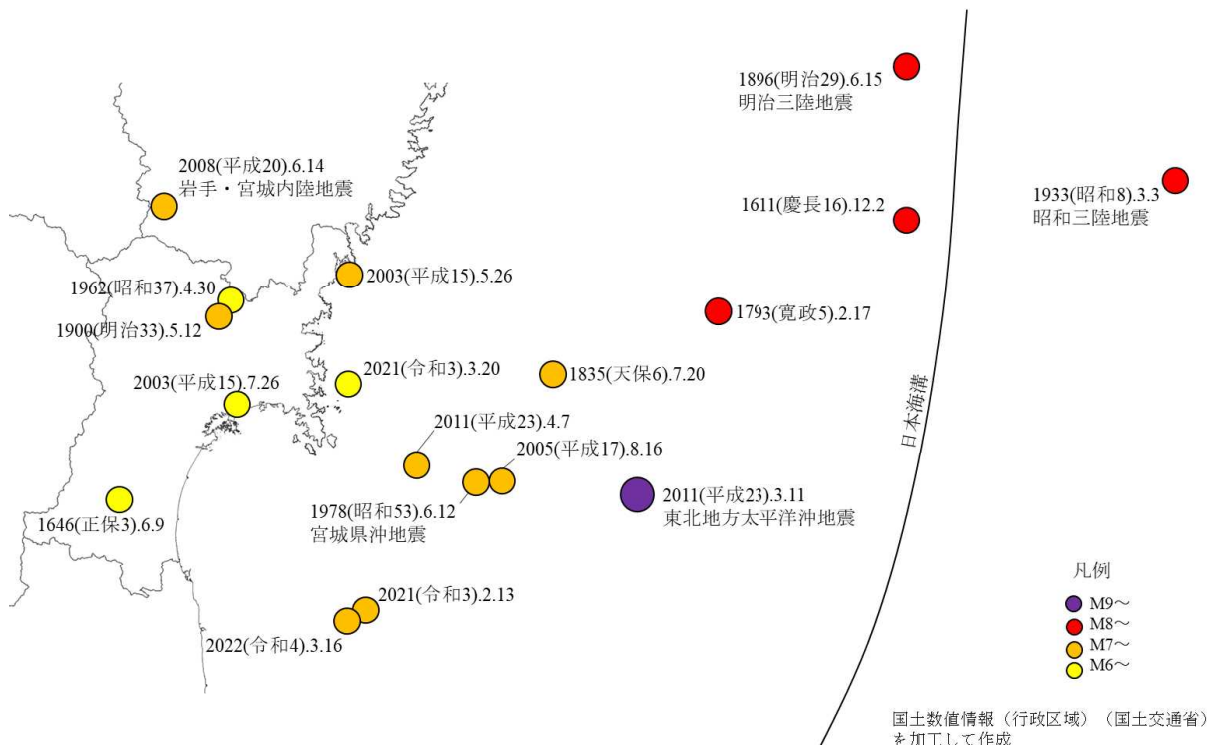


図 4 宮城県に被害を及ぼした主な地震（貞観、チリ地震を除く）

4  
5  
6

**黒着色：中間報告書からの変更点**  
 (句読点やページ番号の修正、文言の整理など軽微なものを除く。)

1  
2  
3

表 6 宮城県における主な津波災害（明治以降～）

区分 名称 (災害種別)	死者 (人)	行方 不明 者 (人)	重傷 (人)	軽症者 (人)	全壊 (棟)	半壊 (棟)	流出 (棟)	床下 浸水 (棟)	船舶 流出	その 他 被害	被害総額 (千円)	発生期日	震源 マグニチ ュード	最大 波高 (m)
明治三陸地震 (大津波)	3,452			1,241			985					1896年 明治29年6月15日	三陸沖	8.2
三陸地震 (津波)		308		145		528		1,520	948			1933年 昭和8年3月3日	三陸沖	8.1
十勝沖地震 (津波)										有		1952年 昭和27年3月4日	十勝沖	8.2
択捉島沖の地震 (地震・津波)											軽微	1958年 昭和33年11月7日	択捉島 南東沖	8.1
チリ地震津波 (大津波)	41	12	625		1,206	899	307	6,097	779	有	11,618,000	1960年 注1) 昭和35年5月24日	チリ沖	9.5
択捉島沖の地震 (津波)										有	89,657	1963年 昭和38年10月13日	択捉島 南東沖	8.1
アラスカ南部の 地震 (津波)										有	97,237	1964年 昭和39年3月28日	アラス カ 南部	9.2
1968年 十勝沖地震 (地震・津波)		1		1				54		有	1,932,053	1968年 昭和43年5月16日	青森県 東方沖	7.9
平成6年(1994年) 北海道東方沖 地震(津波)										有	535,036	1994年 平成6年10月4～5日	北海道 東方沖	8.2
平成15年(2003年) 十勝沖 地震(津波)								8		有	95,426	2003年 平成15年9月26日	十勝沖	8.0
チリ中部沿岸の 地震 (津波)											4,321,139	2010年 注2) 平成22年2月28日	チリ沖	8.8
2011年 (平成23 年) 東北地方太 平洋沖地震 (地震・大津波)	10,570	1,215	502	3,615	83,005	155,130	—	7,796			9,096,893,428	2011年 平成23年3月11日	三陸沖	9.0

4

注1) 地震発生日は1960年(昭和35年)5月23日

5

注2) 地震発生日は2010年(平成22年)2月27日

6

**黒着色**：中間報告書からの変更点  
(句読点やページ番号の修正、文言の整理など軽微なものを除く。)

### 2.1.2. 東日本大震災の概況

## 1 地震の発生状況

2011年(平成23年)3月11日14時46分18.1秒、宮城県の沖合の北緯 $38^{\circ}06.2'$ 、東経 $142^{\circ}51.6'$ 、深さ24km震源(破壊の開始点)とするM9.0の地震が発生し、宮城県栗原市で震度7、宮城県、福島県、茨城県、栃木県の4県37市町村で震度6強を観測したほか、東日本を中心に北海道から九州地方にかけての広い範囲で震度6弱から1を観測した(図5)。県内で震度6弱以上を観測した地域は表7のとおりであった。

表 7 市区町村別最大震度

震度	市区町村
7	栗原市
6強	仙台市宮城野区、石巻市、塩竈市、名取市、登米市、東松島市、大崎市、蔵王町、川崎町、山元町、大衡村、涌谷町及び美里町
6弱	仙台市青葉区、仙台市若林区、仙台市泉区、気仙沼市、白石市、角田市、岩沼市、大河原町、亘理町、松島町、利府町、大和町、大郷町、富谷町及び南三陸町

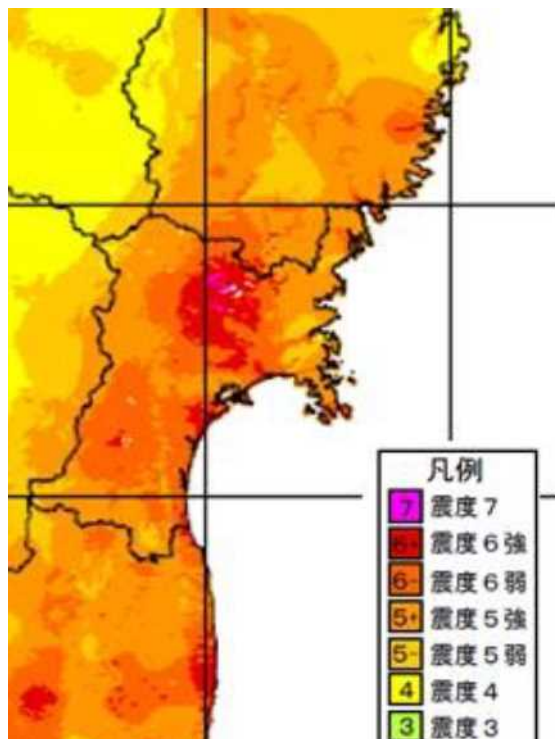


図 5 推計震度分布（気象庁）

**黒着色**：中間報告書からの変更点  
(句読点やページ番号の修正、文言の整理など軽微なものを除く。)

1    2 地震の特徴

2    (1) 震源域

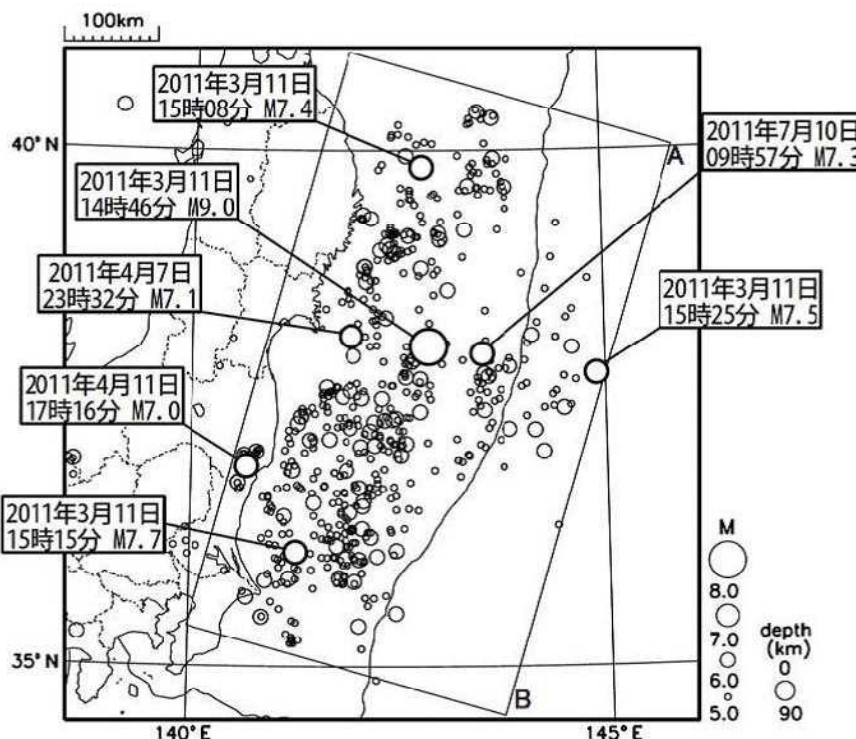
3    震源域が東北地方から関東地方にかけての太平洋沖の幅約 200km、長さ約 500km と広範囲にわ  
4    たり、日本列島のほぼ全域で震度 1 以上の揺れを観測するほどの海溝型の巨大地震であった(6)。

5

6

7

震央分布図  
(2011年3月11日12時00分～8月4日08時00分、深さ 90km 以浅、M $\geq$ 5.0)



丸の大きさはマグニチュードの大きさを表す。  
M7.0 以上の地震に吹き出しをつけている。

8

9

10      6 震央分布図（気象庁）

11

12

**黒着色**：中間報告書からの変更点

(句読点やページ番号の修正、文言の整理など軽微なものを除く。)

1 (2) プレート境界でのすべり

2 本震の発震機構は、西北西－東南東方向圧力軸を持つ逆断層型で、太平洋プレートと陸のプレ  
3 ットとの境界で発生し、巨大津波を発生させた。

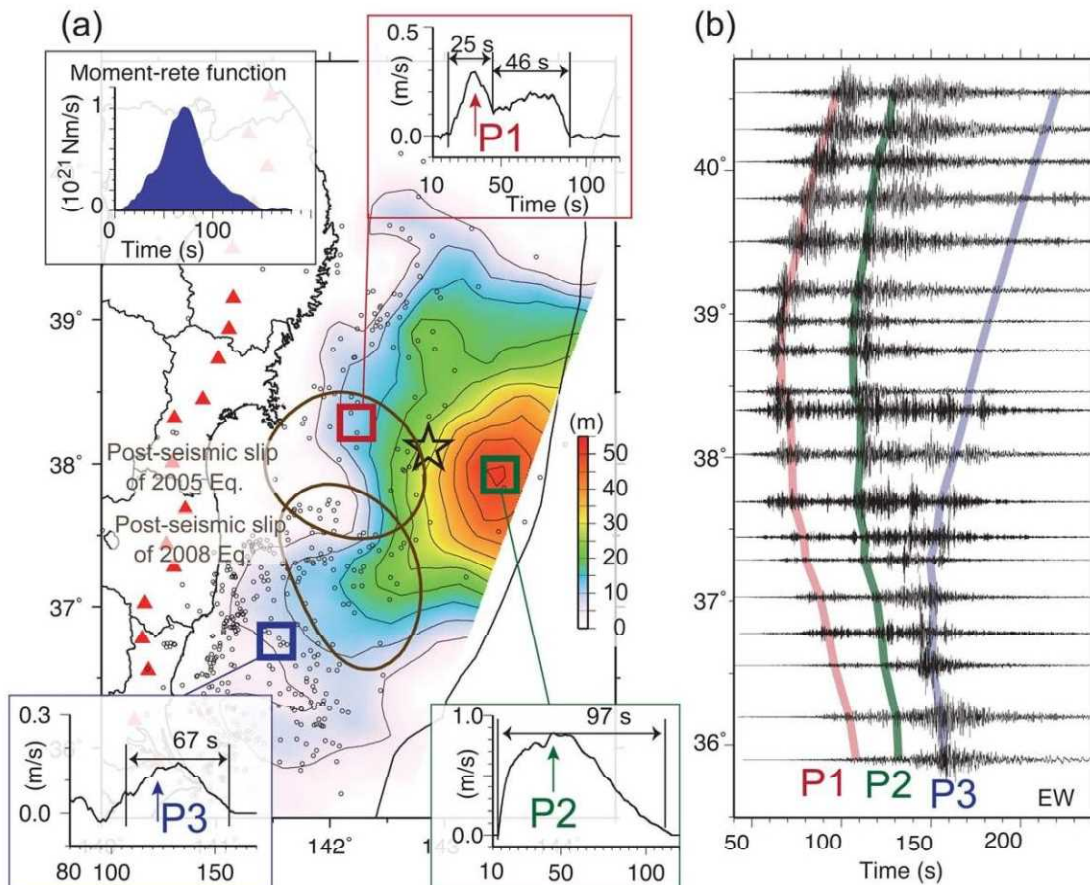
4 断層すべりの大きさは、宮城県沖で最大 50m 以上に達すると推定されている（図 7）。

5

6

7

8



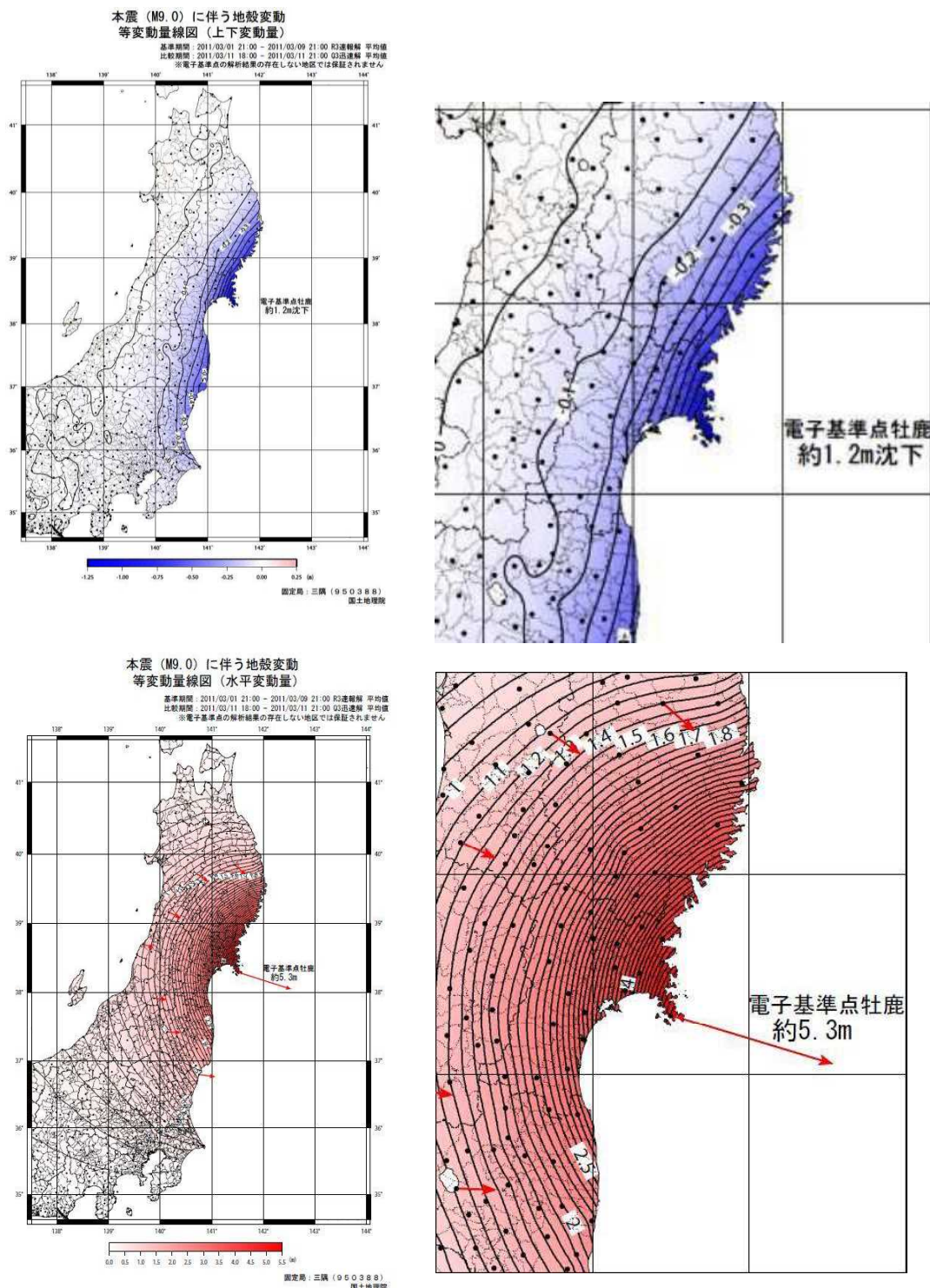
9  
10 図 7 プレート境界でのすべり量  
11  
12  
13

**黒着色**：中間報告書からの変更点  
(句読点やページ番号の修正、文言の整理など軽微なものを除く。)

1 (3) 地殻変動

2 東北地方太平洋沖地震により、石巻市牡鹿では上下変動量で約 1.2m 程度沈下し、水平変動量で  
3 約 5.3m 程度東南東方向に移動した（

4 **図 8).**

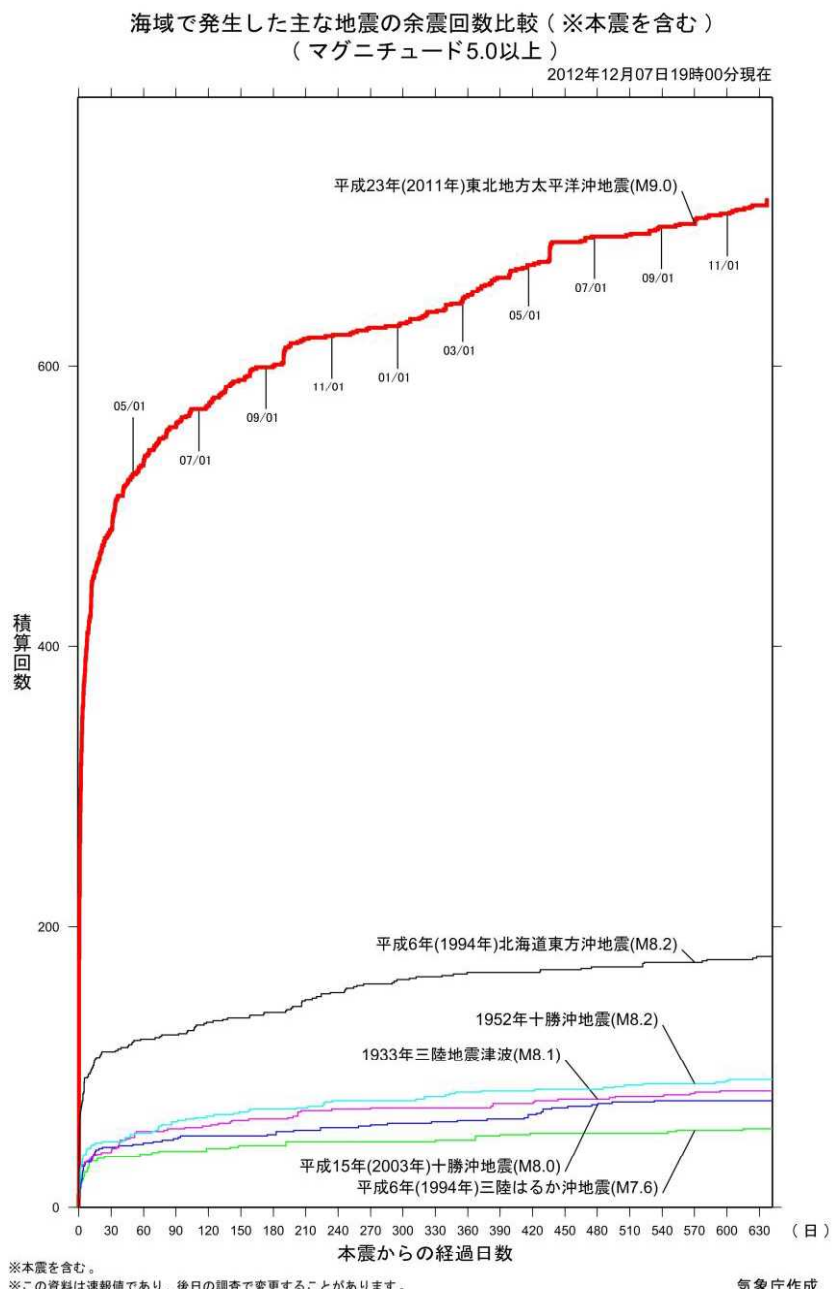


40 図 8 上下変動（上段）及び水平変動（下段）（気象庁）  
41

**黒着色**：中間報告書からの変更点  
(句読点やページ番号の修正、文言の整理など軽微なものを除く。)

1 (4) 余震の発生

2 図9は東北地方太平洋沖地震と他の大地震の余震回数を比較したものである。過去の大地震と  
3 比較して、余震の発生回数が非常に多く、地震から3週間後の4月1日までにM5以上の余震が  
4 400回以上発生している。発生から10年以上経過した現時点においても、余震域内の地震回数は  
5 次第に少なくなっているものの、本震発生以前に比べて地震回数の多い状態が継続している。



7 図9 余震回数（気象庁）

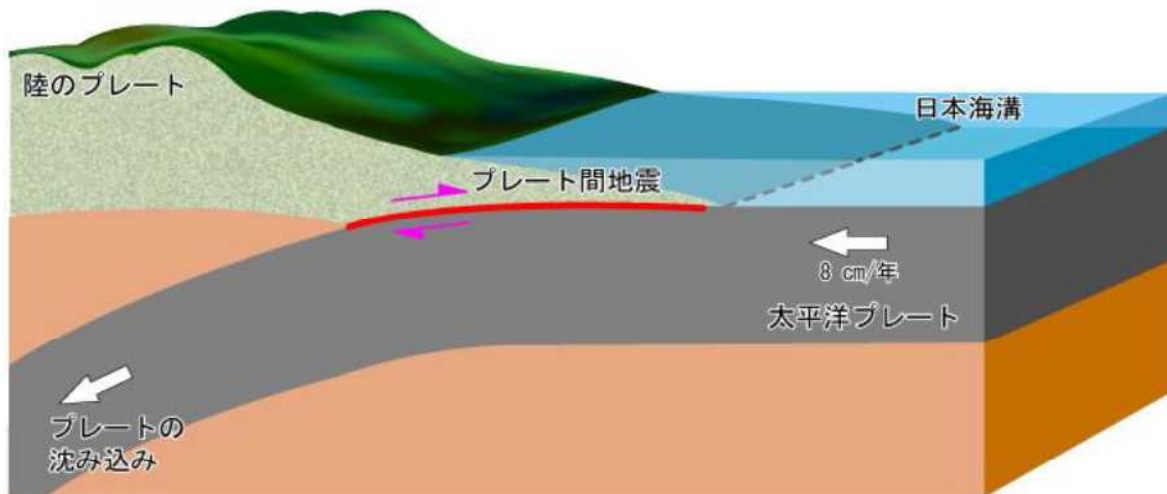
**黒着色**：中間報告書からの変更点  
(句読点やページ番号の修正、文言の整理など軽微なものを除く。)

1    3 地震発生のメカニズム  
2    (1) 2011年(平成23年)3月11日14時46分本震  
3    2011年(平成23年)3月11日以前においては、しっかりと固着していた太平洋プレートと陸  
4    側プレートの境界面(図10の赤線部)で、2011年(平成23年)3月11日14時46分に大きなす  
5    べりが急激に発生した(東北地方太平洋沖地震 本震)。このプレート境界では20~30m程度の  
6    すべりが発生したと考えられるが、日本海溝に近い領域では最大50m程度にも達するすべりが發  
7    生したと考えられる。本震発生時にすべての領域は南北に約500km、東西に約200km程度である。  
8    このような広範囲におけるプレート境界での膨大なすべりにより、M9.0という超巨大地震が発生  
9    した。

10

11

12



13

14

15

16

17

18

※ 2011年(平成23年)3月11日14時46分のM9.0の地震(本震)。

※ 赤線は断層面、紫色矢印はすべりの方向を表す。

図10 2011年(平成23年)3月11日14時46分 本震の発生メカニズム

**黒着色**：中間報告書からの変更点

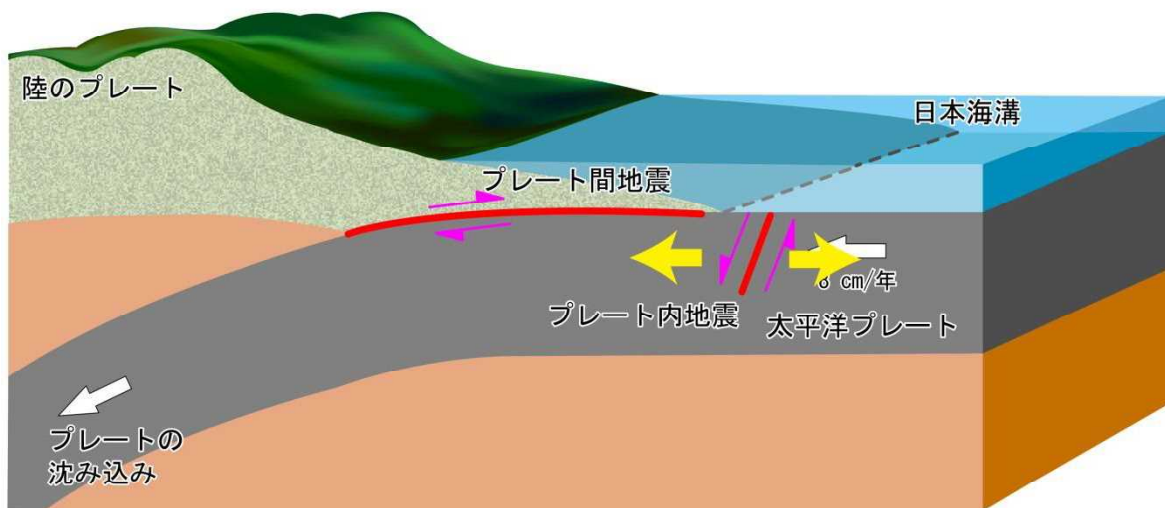
(句読点やページ番号の修正、文言の整理など軽微なものを除く。)

1 (2) 2011年(平成23年)3月11日本震から39分後の地震  
2 本震によるプレート境界での膨大なすべりにより、太平洋プレート内部の応力場が急変し、日  
3 本海溝軸外側(アウターライズ)では圧縮場から伸張場になったと考えられる。これにより本震  
4 から39分後に、太平洋プレート内部で正断層型地震が発生した(図11)。これまで、このような  
5 大きなマグニチュードの正断層型地震はごく稀にしか発生していなかった。1933年(昭和8年)  
6 3月3日には、この地震の北側でM8.1の正断層型地震の昭和三陸地震が発生し、大きな津波を引  
7 き起こしている。

8

9

10



11 ※本震から39分後に発生した日本海溝外側(アウターライズ)のM7.5の正断層型地震。

12

13 ※赤線は断層面、紫色矢印はすべりの方向を表す。

14

15 図11 2011年(平成23年)3月11日 本震から39分後の地震の発生メカニズム

16

17

18

19

20

21

22

23

24

25

26

27

28

29

30

31

地震学では(日本)海溝軸外側の地震を一般に「アウターライズ地震」と呼ぶ。

**黒着色**：中間報告書からの変更点

(句読点やページ番号の修正、文言の整理など軽微なものを除く。)

1 (3) 2011年(平成23年)4月7日 宮城県沖のスラブ内地震

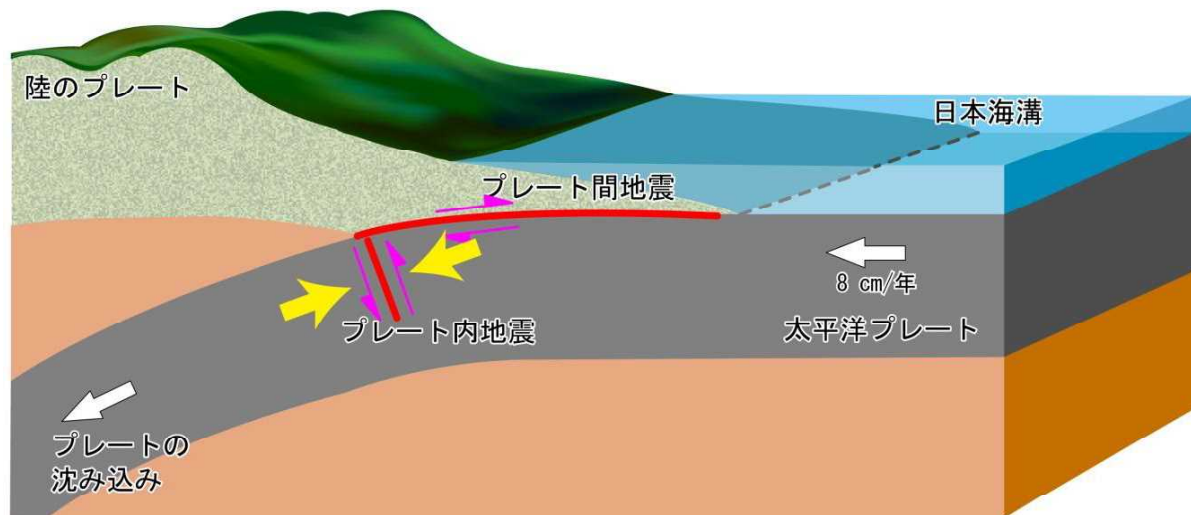
2 沈み込んだ太平洋プレートの深部でも、本震のすべりにより応力場に変化がみられた。本震発  
3 生後には圧縮力がより一層増加したため、深さ約70km付近でM7.2の逆断層型のスラブ内地震が  
4 発生した(図12)。

5 スラブ内地震は震源から放出される地震波に、高周波(短周期)成分を多く含むことが知られ  
6 ており、この地震により宮城県を中心として、かなりの地震動災害が発生した。また、同タイプ  
7 の地震が2021年(令和3年)2月13日の福島県沖(M7.3)、2022年(令和4年)3月16日の福  
8 島県沖(M7.4)で発生した。

9

10

11



12 13 ※ 2011年(平成23年)4月7日 宮城県沖のスラブ内地震(M7.2)。

14

※ 赤線は断层面、紫色矢印はすべりの方向を表す。

15

16 図12 2011年(平成23年)4月7日 宮城県沖のスラブ内地震の発生メカニズム

17

18

19

20

21

22

23

24

25

26

27

28

29

30 地震学では沈み込んだプレート内の地震を一般に「スラブ内地震」と呼ぶ。

**黒着色**：中間報告書からの変更点

(句読点やページ番号の修正、文言の整理など軽微なものを除く。)

1 (4) 2011年(平成23年)4月11日 福島県浜通りの内陸地震

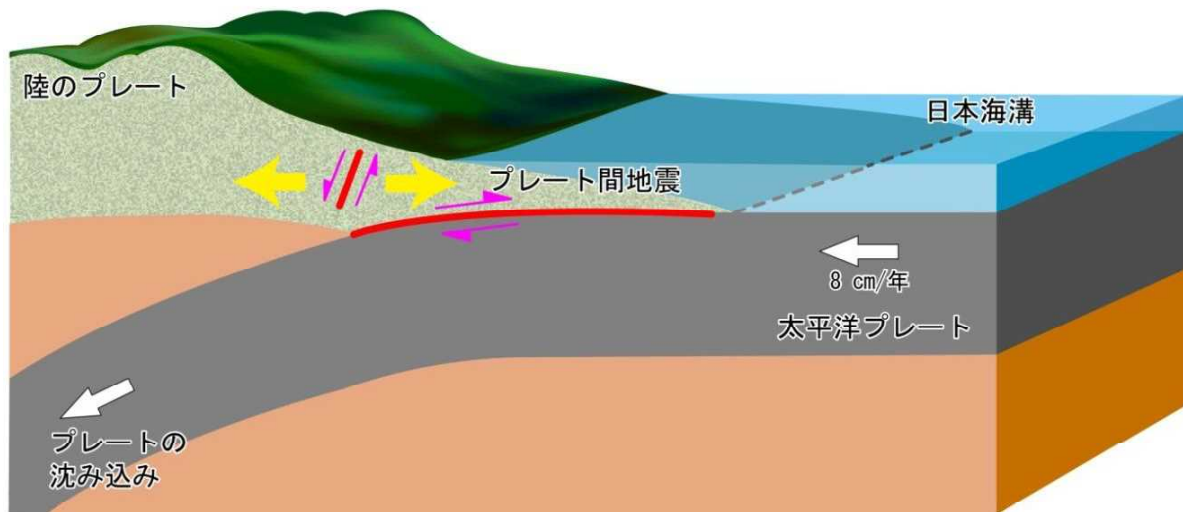
2 本震の発生時に東北地方の陸地部分は大きく東南東にずれ動いたことが知られている。特に、  
3 太平洋側の場所ほど大きくずれている。本震発生以前は、日本海溝から沈み込む太平洋プレート  
4 と陸側プレートの境界面が固着していたため、陸側プレート内部では東西方向の圧縮場となっていた。  
5 いた。

6 そのため、例えば2008年(平成20年)6月14日の岩手・宮城内陸地震(M7.2)のような逆断層型の内陸地震が多数発生していたが、本震時の内陸での東南東への地殻変動により、陸側プレート内部では伸張場となり、正断層型の内陸地震が発生したと考えられる(図13)。これまで、東北地方ではこのように大きな正断層型の内陸地震はほとんど発生してはいなかった。

10

11

12



13

14 ※ 4月11日 福島県浜通りのM7.0の内陸地震。

15

※ 赤線は断層面、紫色矢印はすべりの方向を表す。

16

17 図13 2011年(平成23年)4月11日 福島県浜通りの内陸地震の発生メカニズム

18

**黒着色：中間報告書からの変更点**

(句読点やページ番号の修正、文言の整理など軽微なものを除く。)

1    4 地震動による被害の特徴

2    地震動には、短い周期の波によるガタガタとした揺れと、長い周期の波が伝わって生じるゆっくり繰り返す揺れとが同時に混ざっている。短周期のものは一般に建物、設備等を加振して損傷等の影響を与える。東北地方太平洋沖地震の震源に近い地域における、揺れによる人的被害や住家等の被害の多くはこの短周期の地震動によって生じている。

6    住家・非住家への被害は、津波によるものが大半であったが、津波による被害を受けなかった地域でも地震動による建物被害が発生した。1981年（昭和56年）以前に建設された旧耐震基準で設計された建物で、かつ耐震補強が実施されていない鉄筋コンクリート建物に層崩壊や杭の損傷による建物の傾斜が発生しており、全体的には、新耐震建物や耐震補強を実施した建物では損傷は少なかった。仙台市では、丘陵地を造成した宅地での盛土斜面の崩壊や沼沢地を埋立てた宅地での液状化により、住宅の不同沈下・傾斜等の被害が発生した。

12    また、比較的規模の大きな地震が発生すると数秒から十数秒の周期でゆっくりと揺れる地震動が発生することがある。このような地震動のことを長周期地震動という。長周期地震動は震源から遠く離れたところまで伝わりやすい性質があるため、震源から離れた地点においても、大きな振幅が観測されることが特徴として挙げられる。今回の本震においても、東京や大阪で超高層ビルの天井材の落下やエレベータの損傷等の被害が報告されている。大学などの研究施設では、高価な実験器具等が落下・転倒による被害を受けた事例も報告されている。地震防災において、構造躯体以外の被害・対策という視点も重要である。

19

20

21

22

23

24

25

26

27

28

29

30

31

32

33

34

35

36

37

38

39

40

41    地震動による被害については、宮城県総務部危機対策課（2015）：東日本大震災一宮城県の発災後1年間の災害対応の記録とその検証－ 等に詳しい。

**黒着色**：中間報告書からの変更点  
(句読点やページ番号の修正、文言の整理など軽微なものを除く。)

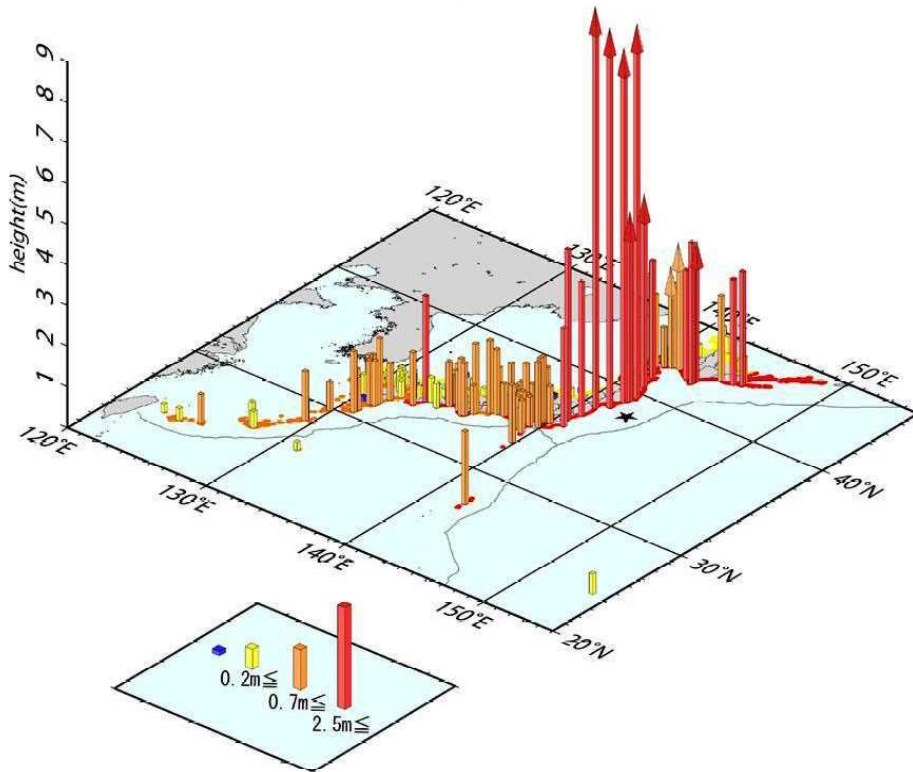
1    5 津波観測状況

2    図 14 に津波観測状況を示す。各地の津波観測施設では、福島県相馬で 9.3m 以上、宮城県石巻  
3    市鮎川で 8.6m 以上など、東日本の太平洋沿岸を中心に非常に高い津波を観測したほか、北海道か  
4    ら鹿児島県にかけての太平洋沿岸や小笠原諸島で 1m 以上の津波を観測した。また、津波観測施  
5    設及びその周辺地域において現地調査を実施し、津波の痕跡の位置等をもとに津波の高さの推定  
6    を行った結果、地点によっては 10m を越える津波の痕跡が確認されている（気象庁（2012）：気象  
7    庁技術報告第 133 号）。

8    この津波により、東日本の太平洋沿岸各地で甚大な被害が発生した（総務省消防庁）。

9

津波観測状況



10

11

12    ※ 矢印は、津波観測施設が津波により被害を受けたためデータ入手できない期間があり、後続の  
13    波でさらに高くなった可能性があることを示す。

14    ※ 当グラフは、気象庁が内閣府、国土交通省港湾局・海上保安庁・国土地理院、愛知県、四日市港管  
15    組合、兵庫県、宮崎県、日本コードス工業(株)の検潮データを加えて作成したもの。

16

17    図 14 東日本大震災における津波観測状況

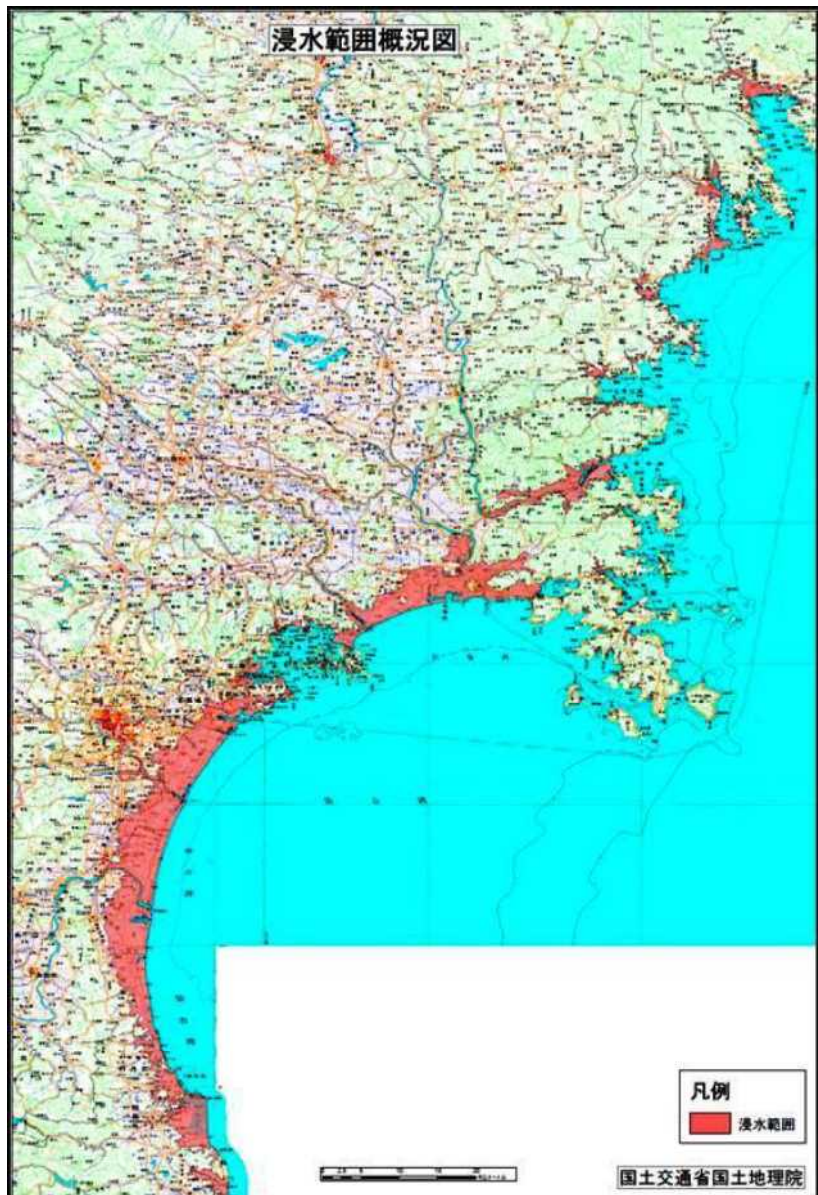
18

**黒着色**：中間報告書からの変更点  
(句読点やページ番号の修正、文言の整理など軽微なものを除く。)

1    6 津波による浸水状況

2    図 15、表 8 は浸水範囲、津波高を示したものである。東北地方太平洋沖地震により、本県の沿  
3 岸 15 市町は甚大な浸水被害を受け、宮城県内の浸水面積は 327 平方キロメートル(国土交通省国  
4 土地理院：概略値)に達した。また、最大浸水高は、南三陸町（志津川）の T.P.+19.6m、最大遡上  
5 高は、女川町の T.P.+34.7m となっている。

6



7    8    図 15 津波の浸水範囲

9    国土地理院資料

10

11

12

13

14

15    津波の高さは一般に東京湾平均海面 (T.P.+m) を基準とした高さで表すことが多く、本報告書で  
16    も基本的に T.P.を基準として示している。

**黒着色**：中間報告書からの変更点  
(句読点やページ番号の修正、文言の整理など軽微なものを除く。)

1

表 8 津波浸水面積及び痕跡高一覧表

No	旧市町村	現市町村	面積(ha)	合併市町村面積(ha)	最大浸水高(T.P.m)	最大遡上高(T.P.m)
1	唐桑町	気仙沼市	129ha	1,833ha	15.2m	21.1m
2	気仙沼市		1,087ha		16.6m	17.3m
3	本吉町		617ha		19.3m	22.3m
4	歌津町	南三陸町	310ha	978ha	18.1m	26.1m
5	志津川町		668ha		19.6m	20.2m
6	北上町	石巻市	974ha	7,700ha	14.4m	17.8m
7	雄勝町		152ha		16.2m	21.0m
8	河北町		1,942ha		5.0m	8.8m
9	河南町		446ha		2.6m	- m
10	石巻市		3,960ha		11.5m	12.0m
11	牡鹿町		227ha		17.5m	26.0m
12	女川町	女川町	293ha		18.5m	34.7m
13	矢本町	東松島市	2,222ha	3,771ha	7.6m	- m
14	鳴瀬町		1,549ha		10.1m	- m
15	松島町	松島町	157ha		2.8m	- m
16	利府町	利府町	14ha		6.3m	- m
17	塩竈市	塩竈市	433ha		4.8m	- m
18	七ヶ浜町	七ヶ浜町	520ha		11.6m	- m
19	多賀城市	多賀城市	623ha		5.5m	- m
20	仙台市宮城野区	仙台市宮城野区	2,092ha		13.9m	- m
21	仙台市若林区	仙台市若林区	2,775ha		11.9m	- m
22	仙台市太白区	仙台市太白区	110ha		2.1m	- m
23	名取市	名取市	2,740ha		11.8m	- m
24	岩沼市	岩沼市	2,828ha		10.5m	- m
25	亘理町	亘理町	3,493ha		8.1m	- m
26	山元町	山元町	2,441ha		14.6m	10.4m
	総計		32,801ha			

2 ※ 面積は、合併前の旧市町と合併後に区分した。また、痕跡高は、最大浸水高と最大遡上高  
3 に区分した。平野部では海岸付近で痕跡高が一番高くなり、これを上回る標高まで遡上する  
4 ことはないので、平野部においては遡上高は記載していない（図 16）。

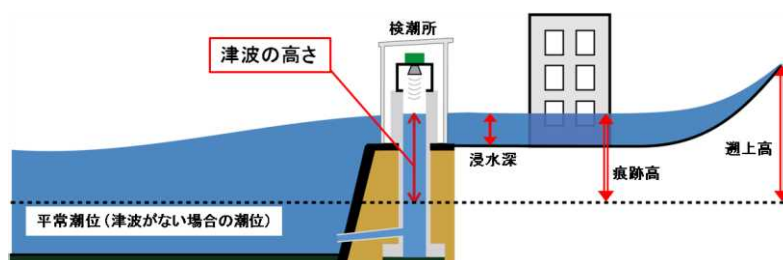


図 16 檜潮所における津波の高さと浸水深、痕跡高、遡上高の関係

5  
6

**黒着色**：中間報告書からの変更点

(句読点やページ番号の修正、文言の整理など軽微なものを除く。)

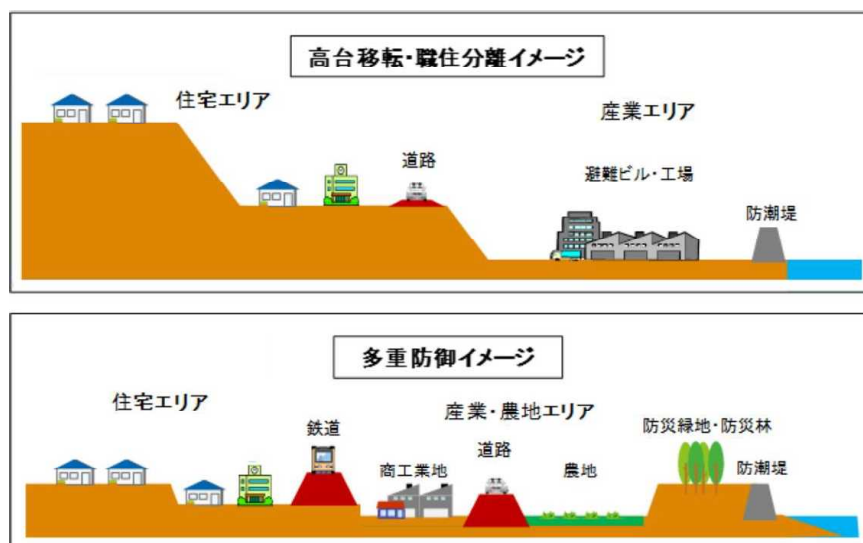
1    2.1.3. 東日本大震災以後の地震・津波防災対策

2    中央防災会議は、東日本大震災を踏まえて津波のレベルを2つに区分し、発生頻度の高い津波  
3    (レベル1津波)は防潮堤等のハード整備により「防護」し、今次津波のような最大クラスの津波  
4    (レベル2津波)に対してはハードのみならずソフト対策も組み合わせた「減災」により住民  
5    等の生命を守るという考え方(図17)を示した。本県では、沿岸部にレベル1津波に対応した  
6    防潮堤の整備を行い、さらに高台移転・職住分離、多重防御などの災害に強いまちづくりの構築  
7    を進めている(図18)。

8



9    図17 東北地方太平洋沖地震を教訓とした地震・津波対策に関する専門調査会報告の要点  
10    (中央防災会議)



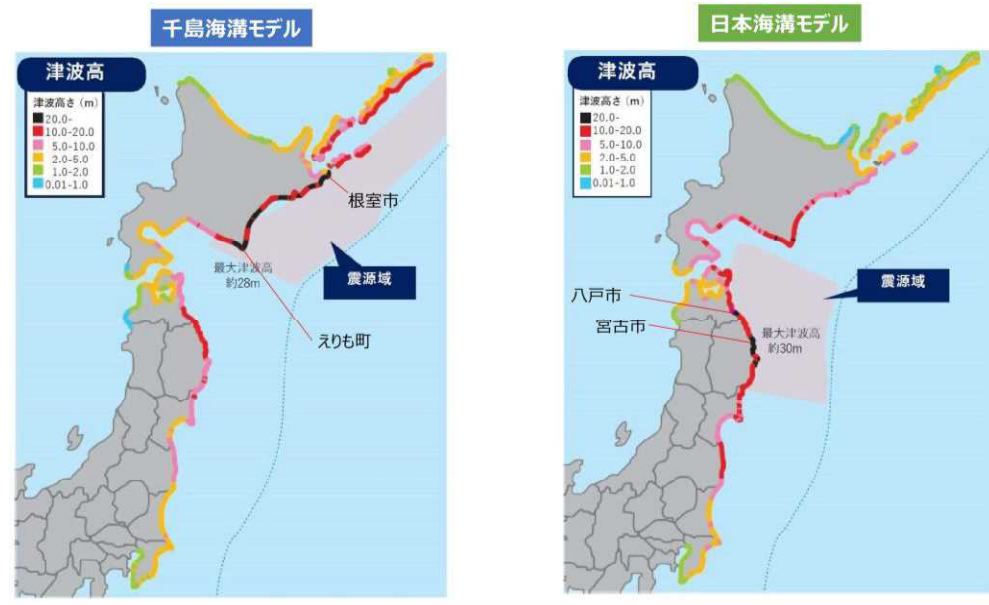
12    図18 災害に強いまちづくり構築のイメージ

13    国(内閣府)では、日本海溝・千島海溝沿いにおいてM9クラスの巨大地震の発生が想定され、  
14    その切迫性が高まっているとして2021年(令和3年)12月に被害想定(図19)を発表した。これによれば、日本海溝(三陸・日高沖)モデルによって全体で約19万9千人、本県では約8,500  
15    人の死者が想定されている。この想定を受け、2022年(令和4年)5月に日本海溝・千島海溝周  
16    围にて緊急避難訓練が実施された。

**黒着色**：中間報告書からの変更点

(句読点やページ番号の修正、文言の整理など軽微なものを除く。)

- 1 辺海溝型地震に係る地震防災対策の推進に関する特別措置法（平成 16 年法律第 27 号）が改正された。  
2  
3



<被害が最大となるケースにおける推計値>

推計項目 (被害が最大となるケース)	日本海溝地震	千島海溝地震
<b>死者数</b> (冬・深夜)	約 199,000人	約 100,000人
<b>低体温症要対処者数</b> (冬・深夜)	約 42,000人	約 22,000人
<b>全壊棟数</b> (冬・夕方)	約 220,000棟	約 84,000棟
<b>経済的被害額</b> (冬・夕方)	約 31兆円	約 17兆円

5  
6 図 19 日本海溝・千島海溝沿いの巨大地震による被害想定※（内閣府資料）  
7  
8  
9  
10  
11  
12  
13  
14  
15  
16

17 ※ 本想定では定量的な評価を行っていないが、比較的規模の大きな地震が発生すると長周期地  
18 震動により、遠地でも高層ビルの上層階における揺れの増幅や、石油タンクの原油等が振動す  
19 るスロッシングによる被害が発生する恐れがある。（東日本大震災時、大阪では震度 3 にもか  
20 かわらず高層ビルが大きく揺れ、内装やエレベータなどに被害が見られた。）

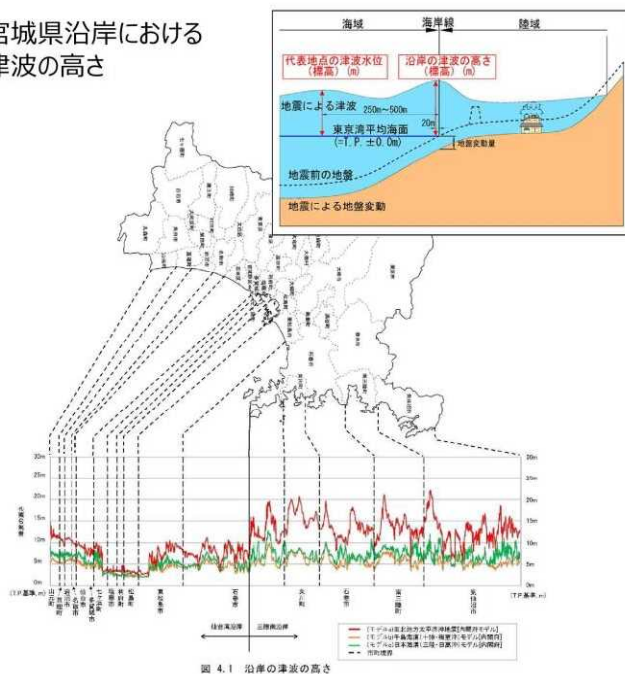
**黒着色：中間報告書からの変更点**

(句読点やページ番号の修正、文言の整理など軽微なものを除く。)

1 本県では津波防災地域づくりに関する法律（平成 23 年法律第 123 号）に基づき、2022 年（令和  
2 4 年）5 月に最大クラスの津波浸水想定を設定・公表した（図 20）。また、これを受けた沿岸市町  
3 における津波避難計画の指針である「宮城県津波対策ガイドライン」を 2022 年（令和 4 年）8 月  
4 に改定した。

5

宮城県沿岸における  
津波の高さ



市町村別に最大となる沿岸の津波の高さ

沿岸名	市町名	津波の高さ (T.P. m)	最大となる地点
三陸南沿岸	気仙沼市	22.2m	気仙沼市本吉町道外 付近
	南三陸町	21.2m	南三陸町戸倉長須賀 付近
	石巻市	19.6m	石巻市雄勝町雄勝上雄勝 付近
	女川町	20.7m	牡鹿郡女川町海岸通り 付近
仙台湾沿岸	石巻市	11.2m	石巻市桃浦向 付近
	東松島市	10.6m	東松島市宮戸観音山 付近
	松島町	4.7m	松島町松島大沢平 付近
	利府町	5.0m	宮城郡利府町赤沼樋ケ沢 付近
	塙町	4.8m	塙町新浜町 付近
	七ヶ浜町	10.0m	宮城郡七ヶ浜町菖蒲田浜長砂 付近
	多賀城市	8.6m	多賀城市栄 付近
	仙台市	10.3m	仙台市若林区井土須賀 付近
	名取市	10.7m	名取市下増田屋敷 付近
	岩沼市	11.3m	岩沼市早股前川 付近
	亘理町	11.5m	亘理郡亘理町吉田砂浜 付近
	山元町	14.9m	亘理郡山元町坂元浜 付近

宮城県沿岸で最大となるのは、  
**気仙沼市本吉 22.2m**

※沿岸の津波の高さ  
海岸線から20m程度沖合における津波の最大水位  
(T.P. m)

6

7

図 20 最大クラスの津波浸水想定の計算結果

**黒着色**：中間報告書からの変更点

(句読点やページ番号の修正、文言の整理など軽微なものを除く。)

## 1 2.2. 宮城県に大きな被害をもたらす地震

### 2 2.2.1. 目的

3 第四次調査は、当時再来確率が極めて高いと評価されていた宮城県沖地震を念頭に置いたもの  
4 であった。また、その他の対象地震も過去数百年間程度に発生したもののが繰り返しを想定していたが東日本大震災はこの想定に含まれるものであった（表 3）。このことから、本調査では対象  
5 地震を選定するまえに、今後どのような地震が発生しうるかを整理する。

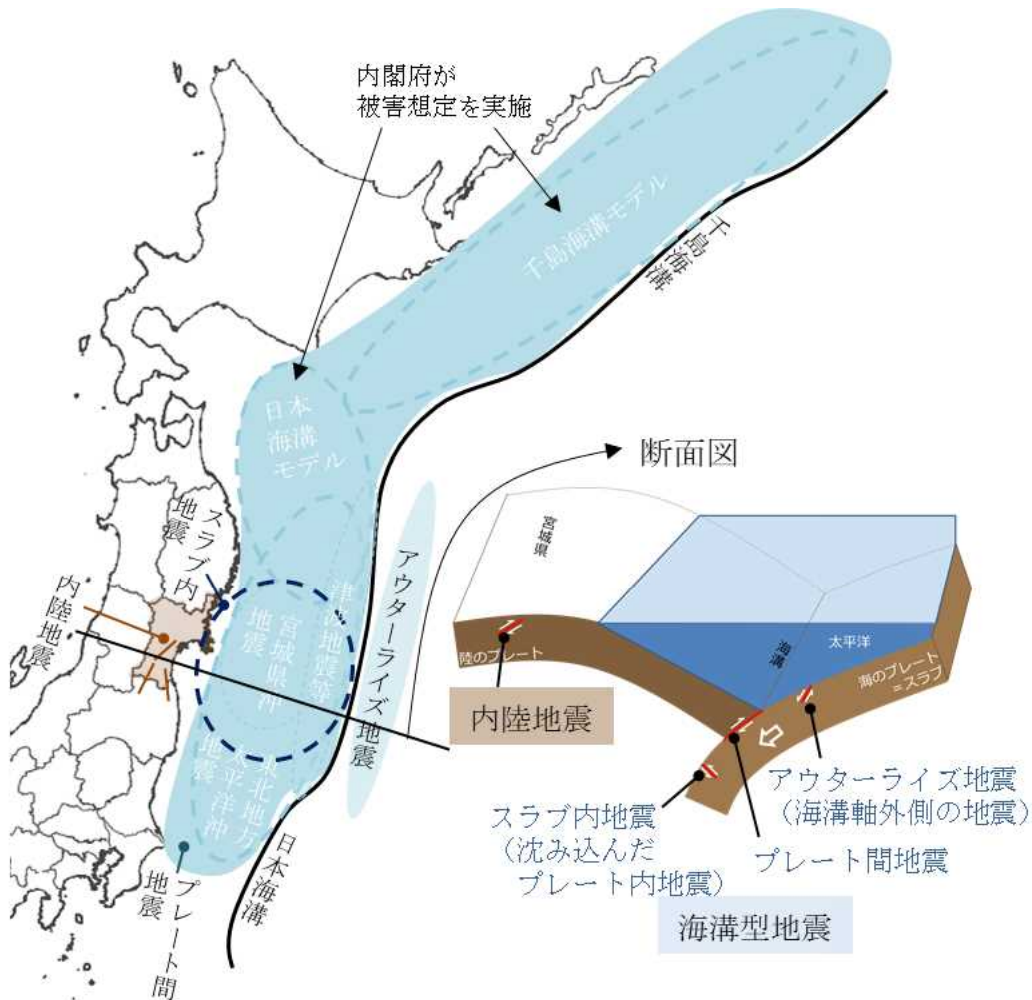
6

### 7 2.2.2. 地震本部による長期評価

8 地震本部では、海溝型地震や主要な活断層で発生する地震（内陸地震）を対象に、地震の規模  
9 や一定期間内に地震が発生する確率を予測（地震発生可能性の長期評価）している。図 21 は本県  
10 に大きな被害をもたらす地震を整理したものである。なお、この評価には、チリ地震津波などの  
11 遠地津波を含んでいない。

12

13



14

15 図 21 宮城県に大きな被害をもたらす地震の発生域

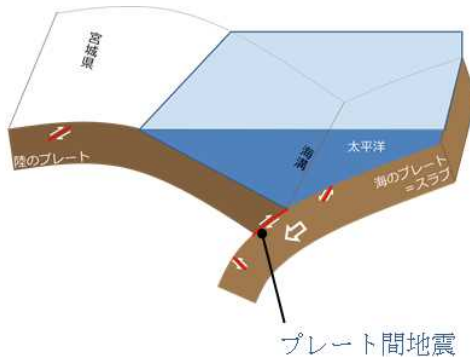
16

17 海溝型地震とは、2枚のプレート間のずれによって生じるプレート間地震（図 22）と沈み込む  
18 側のプレート内部が破壊することにより発生するプレート内地震（図 23）を指している。プレー  
19 牙間地震は海と陸の2つのプレートの境界面が破壊される（ずれる）ことによって発生する。過  
20 去に発生したプレート間地震の例としては、2011年（平成 23 年）東北地方太平洋沖地震（東日本

**黒着色**：中間報告書からの変更点

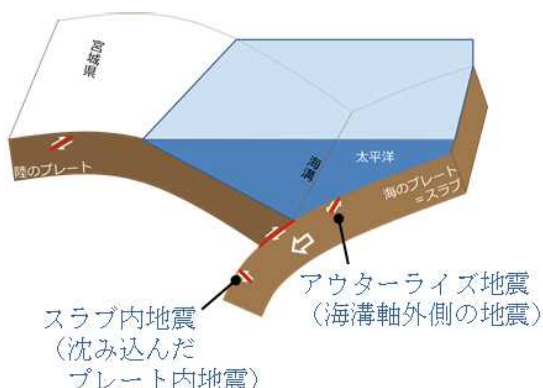
(句読点やページ番号の修正、文言の整理など軽微なものを除く。)

- 1 大震災、M9.0)、1793年(寛政5年、M7.9) や1978年(昭和53年、M7.4)などの宮城県沖地震、  
2 1896年(明治29年)明治三陸地震などがある。明治三陸地震は海溝寄りのプレート間地震であり  
3 大きな津波を伴うことがあるため「津波地震」とも呼ばれる。  
4



5  
6 図 22 プレート間地震の模式図  
7

8 後者のプレート内地震はさらに「沈み込んだプレート内の地震」と「海溝軸外側の地震」に分  
9 類され、地震学では一般に沈み込んだプレート内の地震を「スラブ内地震」と、海溝軸外側の地  
10 震を「アウターライズ地震」と呼ぶ(本報告書でも以降「スラブ内地震」「アウターライズ地震」  
11 と表記する)。過去に発生した例としてスラブ内地震では2011年(平成23年)4月宮城県沖、2021  
12 年(令和3年)2月福島県沖、2022年(令和4年)3月福島県沖などがあり、東日本大震災後頻度  
13 が高まっている。アウターライズ地震の例としては、1933年(昭和8年)昭和三陸地震がある。  
14 プレート間地震の後にはアウターライズ地震が発生しやすくなるが、東日本大震災以降まだ昭  
15 和三陸地震のようなM8級の地震が発生しておらず注意が必要である。  
16



17  
18 図 23 プレート内地震の模式図  
19

20 内陸地震は活断層により発生する地震である(図24)。長期評価の対象となっている県内の断  
21 層は長町・利府線断層帯、福島盆地西縁断層帯、双葉断層の3つであり。本県では長町・利府線  
22 断層帯による地震を第二次調査から対象としている。ただし、2003年(平成15年)宮城県北部の  
23 地震、2008年(平成20年)岩手・宮城内陸地震など、長期評価に含まれておらず、それまで知ら  
24 れていなかった断層による地震も発生していることに注意が必要である。  
25  
26

**黒着色**：中間報告書からの変更点  
(句読点やページ番号の修正、文言の整理など軽微なものを除く。)

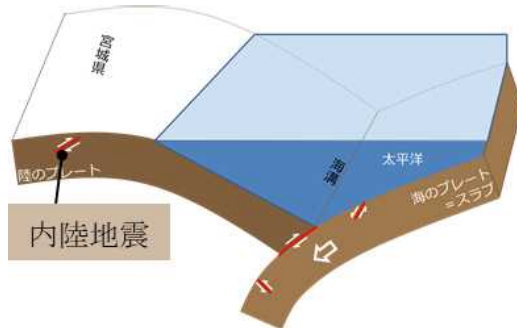


図 24 内陸地震の模式図

#### 2.2.3. 国による検討

日本海溝・千島海溝沿いの巨大地震モデル検討会では、過去約6千年間ににおける津波堆積物資料を基本に巨大地震を推定(図25)し、岩手県から北海道の日高支庁以西の海岸領域及び北海道の十勝支庁から根室支庁にかけての海岸領域でそれぞれ最大クラスの地震・津波の発生が切迫している状況にあると判断している。



図 25 千島海溝モデルと日本海溝モデル（内閣府資料）

**黒着色**：中間報告書からの変更点  
(句読点やページ番号の修正、文言の整理など軽微なものを除く。)

1    2.2.4. 宮城県に大きな被害をもたらす地震

2    地震本部等の評価をもとに、本県に大きな被害をもたらしうる地震を整理したのが表 9である。

3

4                    表 9 宮城県に大きな被害をもたらしうる地震

海溝型地震	
プレート間地震（海のプレートと陸のプレートとの間のずれによって生じる地震）	
	東北地方太平洋沖地震型 超巨大地震 M=9.0 程度 今後 30 年以内の地震発生確率：ほぼ 0%
	日本海溝モデル Mw=9.1 切迫性が高まっている(内閣府)
	千島海溝モデル Mw=9.3 切迫性が高まっている(内閣府) 今後 30 年以内の地震発生確率：7~40% (M8.8 程度以上)
	宮城県沖地震 今後 30 年以内の地震発生確率：20%程度 (M7.9 程度) 90%程度 (M7.0~7.5 程度) 70~80% (M7.4 前後、陸寄り)
	津波地震等 Mt8.6~9.0 今後 30 年以内の地震発生確率：30%程度 (津波マグニチュード)
	スラブ内地震 M7.0~7.5 程度 今後 30 年以内の地震発生確率：60~70% ※2011.4、2021.2、2022.3 など震災後頻発
	アウターライズ地震 M8.2 前後 今後 30 年以内の地震発生確率：7%
内陸地震（地震本部が長期評価している 3 つの地震を記載）	
	長町 - 利府線断層帶 M7.0~7.5 程度 今後 30 年以内の発生確率：1%以下
	福島盆地西縁断層帶 M7.8 程度 今後 30 年以内の発生確率：ほぼ 0%
	双葉断層 M6.8~7.5 程度 今後 30 年以内の発生確率：ほぼ 0%

5                    ※この表に記載している確率は地震本部によるもので、令和 5 年 1 月 1 日現在。

6                    東北地方太平洋沖地震による影響などによりこの数値よりも高い可能性がある。

7                    最大クラスの地震は日本海溝モデル、千島海溝モデル、東北地方太平洋沖地震の 3 つがあり、  
8                    宮城県にとって最も大きい被害をもたらすものは震源が近い東北地方太平洋沖地震であると想定  
9                    される。一方、日本海溝モデル・千島海溝モデルは発生間隔・最後の津波発生時期等を勘案する  
10                  と切迫性が高いと考えられており、法律改正をはじめとした各種対策が講じられている最中であ  
11                  る。

12

## **黒着色：中間報告書からの変更点**

(句読点やページ番号の修正、文言の整理など軽微なものを除く。)

1 これら3つの地震は津波に関しては最大クラスであるが、震度については必ずしも最大とは言  
2 えない。東日本大震災後発生頻度が高まっているスラブ内地震や内陸地震はマグニチュードが7  
3 クラスであっても、震源が近いことから強い揺れを起こしうる。

### 5 2.3. 被害想定の対象とする地震の選定

#### 6 2.3.1. 基本的な考え方

7 防災基本計画によれば、被害想定は被害の全体像の明確化及び広域的な防災対策の立案の基礎  
8 のために具体的な被害を算定するもの（①）とされている。また、対象となる地震・津波につい  
9 ては科学的知見を踏まえ、あらゆる可能性を考慮した最大クラスのもの（②）及びその他様々な  
10 もの（③）を対象とすることとなっている。

11 このことから今回の被害想定の対象とする地震は、まず②の観点から、最大クラスの地震として海溝型地震、内陸地震からそれぞれ一つずつ選定する。次に③のその他の地震についてである  
12 が、①の観点から最大クラスよりも比較的規模が小さく、しかし頻度が高い地震に対しても防災  
13 対策立案に資する調査となるようM8クラス、M7クラスの地震をそれぞれ一つずつ選定する。

#### 17 2.3.2. 最大クラスの地震

18 海溝型地震としては、本県にとって最大の津波被害をもたらす東北地方太平洋沖地震を選定す  
19 る。なお、津波計算については2022年（令和4年）5月に公表した最大クラスの津波浸水想定  
20 の検討結果を活用するが、強震動計算を行っていないため強震動計算は本調査にて新規に実施す  
21 る。

22 内陸地震としては、地震本部が長期評価を行っている3つの地震のうち、以下の観点から長町  
23 -利府線断層帯地震を選定する。

24 ① 仙台都市圏に存在する断層であり、県内に最も大きな強震動被害をもたらすと予想される。

25 また、県庁など災害対策の拠点となる地域も強震動を受ける。

26 ② 都市部・地方部と広域に多様な被害が発生することが予想され、県の今後の防災対策立案  
27 に最も資すると考えられる。

28 ただし、県内には確認されているものだけでも多くの活断層が分布しており、内陸地震により  
29 被害を受ける可能性は県内全域にある。M6.5程度の内陸地震はどこで発生しても不思議ではない  
30 ため、防災対策を行う際は注意する必要がある。

#### 32 2.3.3. その他の地震

33 M8クラスの地震として、地震動・津波両面の被害が想定されることや、本県にとって象徴的な  
34 地震であるという理由から宮城県沖地震（連動型）を選定する。これまでの調査では宮城県沖地  
35 震は単独型と連動型の2つを対象としていたが、単独型に対する防災対策はより規模の大きい連  
36 動型の被害想定に基づいた防災対策によってカバーできるため、本調査では宮城県沖地震（連動  
37 型）のみを選定する。地震本部が評価しているM8クラスの地震にはほかに昭和三陸地震のよう  
38 なアウターライズ地震、明治三陸地震のような津波地震があり、いずれも大きな津波が想定され  
39 るものの、最大クラスの津波を超えるものではないため本調査では選定しない（最大クラスの地  
40 震被害想定に基づいた防災対策によってカバーされる）。

41  
42 M7クラスの地震としては、東日本大震災後頻度が高まっていることやすでに選定した宮城県

**黒着色**：中間報告書からの変更点

(句読点やページ番号の修正、文言の整理など軽微なものを除く。)

1 沖地震（連動型）と異なるタイプであるといった観点からスラブ内地震を選定する。地震本部が  
2 評価しているその他のM7クラスの地震には宮城県沖地震（単独型）のようなプレート間地震が  
3 あるが、前述のとおり本調査ではこれよりも規模が大きい宮城県沖地震（連動型）を選定してい  
4 ることから選定しない。

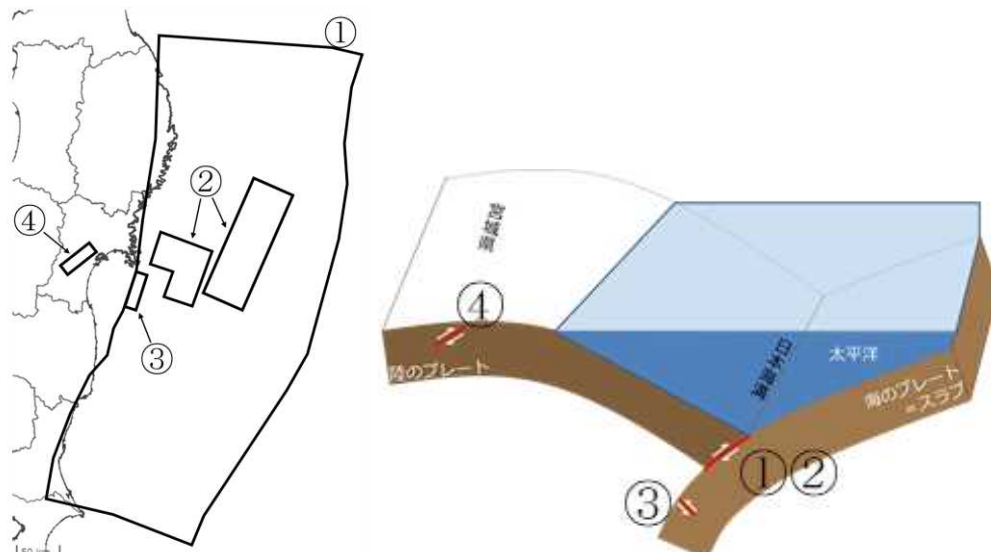
5  
6 以上の選定結果を整理したのが表10であり、この4つの地震に対する被害想定を本調査で行  
7 う。今回選定した地震は、今後被害想定を行い、防災対策立案の基礎とするために選定した「県  
8 内の代表的な地震」である。これまでの整理のように、これ以外にも大きな被害をもたらす地震  
9 が発生しうることに十分留意する必要がある。

10

11 表10 被害想定の対象地震

	第四次調査 (H22～H23)	本調査 (R3～R5)
対象地震	宮城県沖地震（連動型） M8.0 宮城県沖地震（単独型） M7.5 長町 - 利府線断層帯地震 M7.5 明治三陸地震（津波計算のみ） M8.6	①東北地方太平洋沖地震 M9.0 ②宮城県沖地震（連動型） M8.0 ③スラブ内地震 M7.5 ④長町 - 利府線断層帯地震 M7.5

12



13

14

**黒着色**：中間報告書からの変更点  
(句読点やページ番号の修正、文言の整理など軽微なものを除く。)

1    2.4. 地震動・液状化の予測

2    2.4.1. 地震動の予測

3    2.4.1.1. 検討の流れ

4    検討の流れは以下のとおりである（図 26～図 33、表 11）。

5    ① 予測評価では 250m メッシュを採用する。

6    ② 地震本部の「震源断層を特定した地震の強震動予測手法（「レシピ」）」で説明のある強震動  
7    計算のうち、国や自治体の被害想定で広く採用されている以下の方法を用いる。

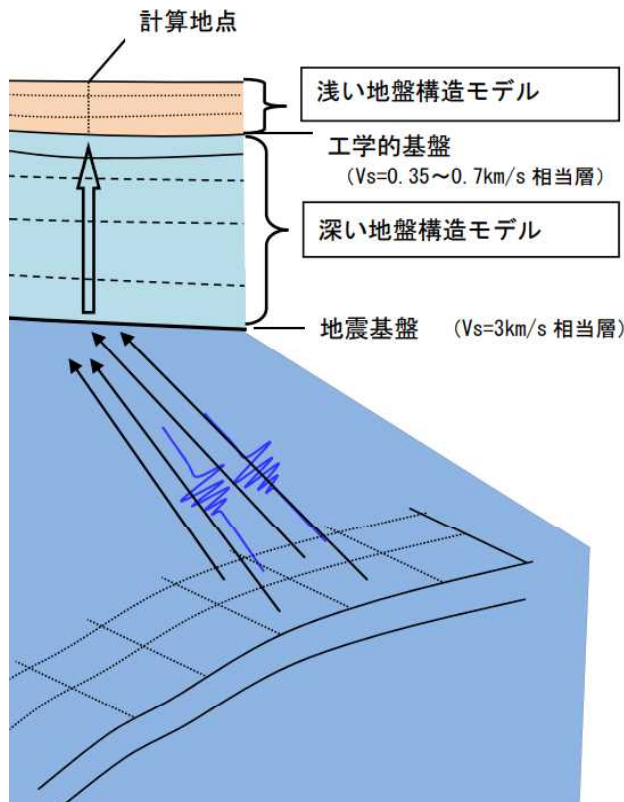
- 8    • 工学的基盤まで：統計的グリーン関数法による波形計算  
9    • 地表震度の算出：工学的基盤最大速度と AVS30（地表から深さ 30m までの平均 S 波速

10      度）による増幅率から最大地表速度を算出し、最大地表速度と地表震  
11      度の関係式から算出

12      ※ 長周期地震動、断層による地表のずれやたわみ地形については過去の事例をもとに定  
13      性的に想定する。

14      ③ 地盤モデルは浅部・深部ともに地震本部（J-SHIS）モデルを採用する。

15



16

図 26 強震動計算の概念図

17

18

**黒着色**：中間報告書からの変更点  
(句読点やページ番号の修正、文言の整理など軽微なものを除く。)

1    2.4.1.2. 震源～工学的基盤までの地震動予測手法

2    本調査では、統計的グリーン関数法の計算方法として釜江ほか(1991)による波形合成法を用いることとした。統計的グリーン関数法を用いた模擬地震波作成の流れを図 27 に示す。この方法は、中小規模地震を要素地震としてその記録に含まれている震源から観測点にいたる地震動の伝播経路の特性を利用し、震源での断層理論に基づく記録の重ね合わせによって大地震の地震動を作成しようとする経験的グリーン関数法の考え方に基づくものである。経験的グリーン関数法の計算方法としては、Irikura(1986)のものが良く知られている。

3    経験的グリーン関数法は、想定地震の震源域で発生した中小規模地震の観測波形が調査地で観測されている場合に適用可能である。しかし実際には、そのような条件に合った地震記録が観測されていることはまれである。そのため、釜江ほか(1991)は、観測波形の代わりに、Boore(1983)による確率的地震動波形を地震基盤 ( $V_s=3000\text{m/s}$  程度の層) での波形として作成し、これを要素波として用いて Irikura(1986)による波形合成を行う方法を提案した。このとき、地震動の伝播経路の評価は、調査によって明らかになった深部・浅部の地盤構造を使用して理論的方法により行っている。具体的には、以下の手順に基づき、計算を行っている。

- 4    ① 対象とする断层面を小断層に分割し、小断層毎に、Boore(1983)の手法により  $\omega^{-2}$  を満たす要素波形の振幅スペクトルの形状を求める。この振幅スペクトル形状は以下の通りである。

$$S_A(\omega) = \frac{R_\phi \theta}{4\pi\rho\beta^3} M_0 \cdot \frac{\omega^2}{1 + (\omega/\omega_c)^2} \cdot \frac{1}{1 + (\omega/\omega_{max})^2} \cdot \frac{e^{-\frac{\omega R}{2Q\beta}}}{R + C} \quad (1-1)$$

5     $\omega_c = 2\pi f_c$ 、 $f_c = 0.49\beta(\Delta\sigma/M_0)^{1/3}$ 、 $\omega_{max} = 2\pi f_{max}$ 、 $f_{max} = 6\text{Hz}$  (鶴来ほか(1997)、兵庫県南部地震の解析値)

6     $M_0$  は地震モーメント、 $\rho$  は密度、 $\beta$  は媒質の S 波速度、 $\Delta\sigma$  は応力降下量、 $R$  は震源距離、 $Q$  : 地盤の Q 値である。

7    なお、観測点が震源近傍にある場合、統計的グリーン関数法の地震動振幅が過大評価されることから幾何減衰として  $1/(R + C)$  を導入した。

- 8    ② 要素波形の位相スペクトルは、Boore(1983)に従ってホワイトノイズに包絡形を施した波形のスペクトルをかけ合わせて設定する。位相を与える場合には乱数を用いるが、長周期成分まで考慮できるように香川(2004)に基づき、長周期 (変位波形) でコヒーレントな統計的グリーン関数を生成できるように乱数を設定する。また、長周期側で各要素断層の波形の位相を揃えるため、アスペリティ、背景領域ごとに小断層に対して共通の位相を使用する。

- 9    ③ 上式中の  $R_\phi \theta$  はラディエーション係数であるが、これは、各小断層から計算地点への方位角、射出角により計算する。この時、Kamae and Irikura(1992)と同様に、周波数依存型の放射特性を導入した。これは、周波数  $0.25\text{Hz}$  以下では理論的放射特性に従い、 $2.0\text{Hz}$  以上では等方的な放射特性となるものである。ここでは S 波のみを考えているため、SH 波、SV 波毎に振幅スペクトルを求める。

- 10    ④ 小断層毎にすべり量・応力降下量が異なる場合は、それに応じて各小断層の  $M_0$ 、 $\Delta\sigma$  を設定する。

**黒着色**：中間報告書からの変更点

(句読点やページ番号の修正、文言の整理など軽微なものを除く。)

- 1       ⑤ 伝播経路の減衰特性  $Q$  値は、内閣府(2021)による次式の周波数依存の値を設定する。な  
2       お、周波数  $f = 1.0\text{Hz}$  以下では、周波数  $f = 1.0\text{Hz}$  の値を用いることとした。

$$Q = 130f^{0.77} \quad (1-2)$$

- 3       ⑥ 上記手法で作成した計算地点での地震基盤におけるスペクトルに対して、地表までの地  
4       盤構造による增幅を考慮するため、SH 波については斜め入射の SH 波動場を、SV 波につ  
5       いては、P-SV 波動場の応答計算を行う。

- 6       ⑦ 求められた工学的基盤での Transverse、Radial、UD 波形を NS、EW、UD に射影する。

- 7       ⑧ 工学的基盤での各小断層からの波形を Irikura(1986)および入倉ほか(1997)に従って、震源  
8       断層内の破壊伝播に応じて、それぞれの成分毎に足し合わせる。これより、工学的基盤で  
9       の 3 成分波形を求めることができる。

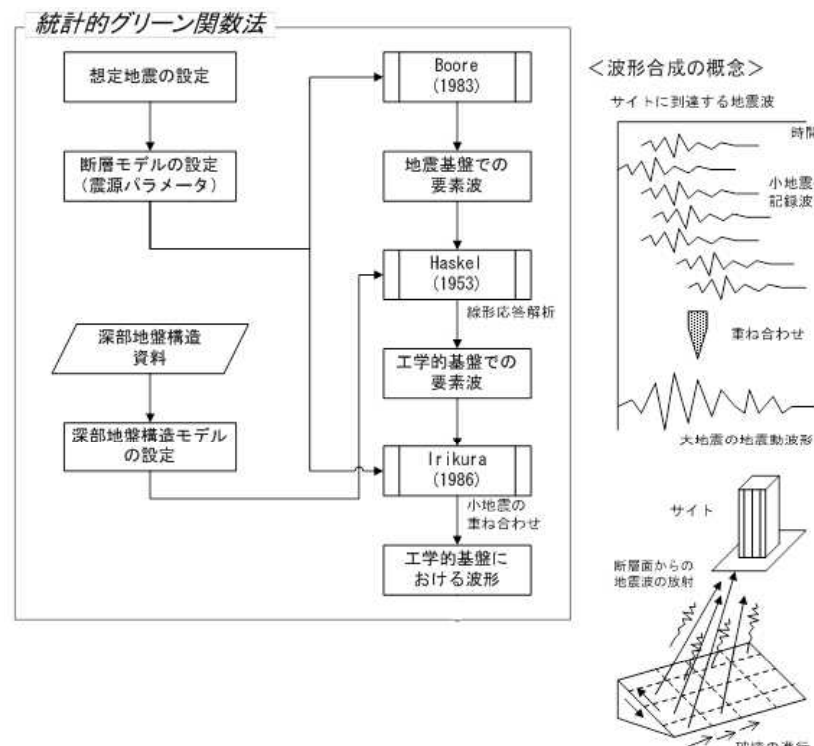


図 27 統計的グリーン関数法を用いたサイト波作成の流れ

**黒着色**：中間報告書からの変更点  
(句読点やページ番号の修正、文言の整理など軽微なものを除く。)

1    2.4.1.3. 地表震度の算定

2    本調査では、工学的基盤～地表までの地震動予測手法として、「工学的基盤における計測震度 +  
3    レシピに基づく震度増分（以下、SGF+レシピ震度増分）」により算出した。SGF+レシピ震度増  
4    分の算出方法を以下に示す。

5

6    ①    工学的基盤上面から地表への最大速度の增幅率**amp**を求める。增幅率**amp**については、  
7    表層 30m の平均 S 波速度**AVS30**との相関性が認められることが分かっている。本調査で  
8    は、地震ハザードステーション（以下、J-SHIS）で公開されている各メッシュの**AVS30**を  
9    用いて、以下の式で增幅率**amp**を算出する。

$$\log_{10} \text{amp} = 2.367 - 0.852 \cdot \log_{10} \text{AVS30} \quad (1-3)$$

10    ②    工学的基盤上面から地表への震度増分**ΔI**を以下の式で算出する。

$$\begin{aligned} \Delta I &= 2.603 \cdot \log_{10} \text{amp} - 0.213 \cdot \{\log_{10} \text{amp}\}^2 - 0.426 \\ &\quad \cdot \log_{10} \text{PGV}_b \cdot \log_{10} \text{amp} \end{aligned} \quad (1-4)$$

**PGV<sub>b</sub>** : 工学的基盤上面における最大速度

11    ③    統計的グリーン関数法により算出した工学的基盤上面における計測震度**I<sub>b</sub>**に上式で求  
12    めた**ΔI**を足し合わせることで、地表地震動を算定する。

$$I = I_b + \Delta I \quad (1-5)$$

13

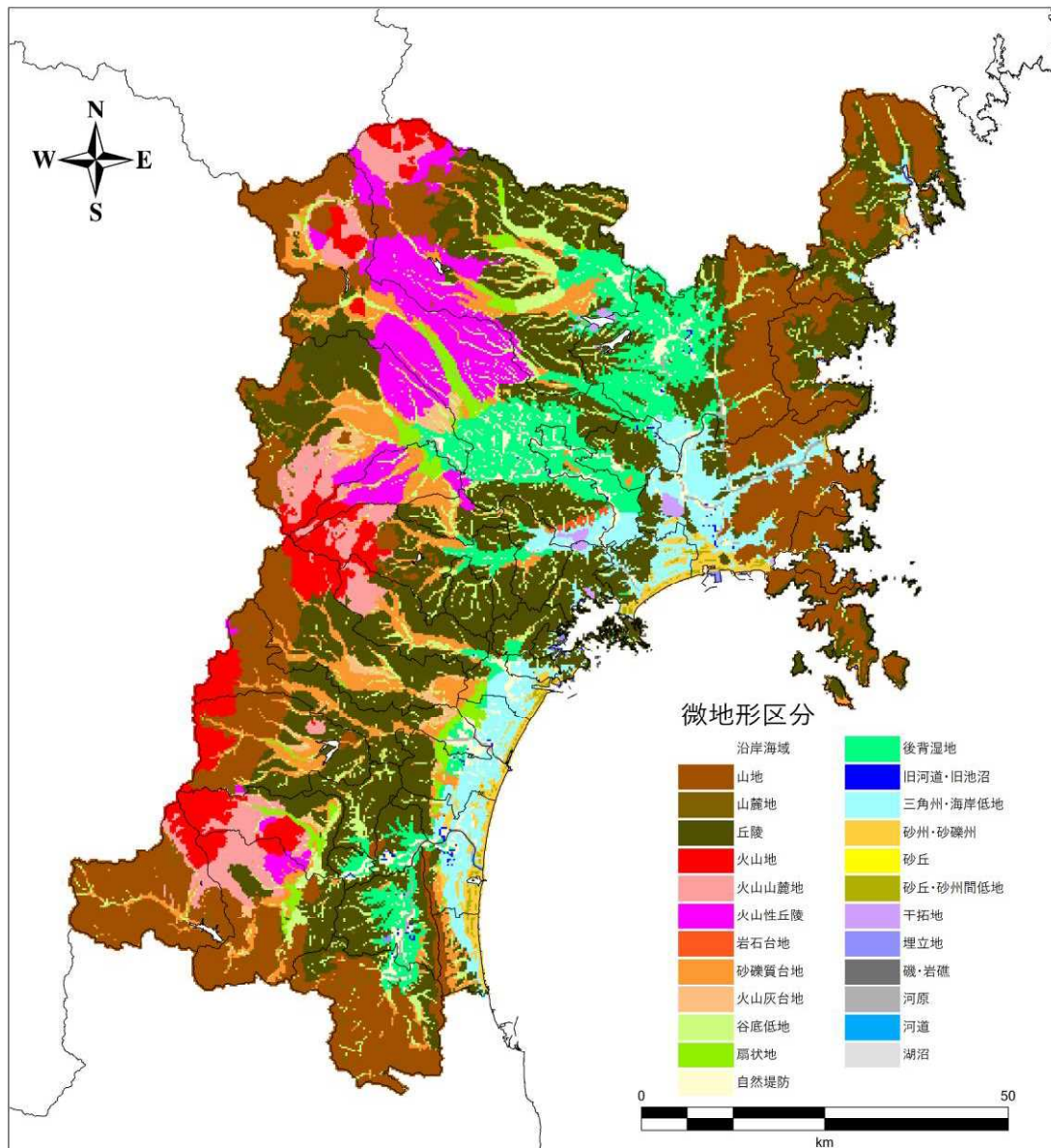
14    2.4.1.4. 地盤モデル

15    地盤モデルは、浅部モデル、深部モデルとともに地震本部（J-SHIS）モデルを採用する（図 28～  
16    図 33）。第四次調査時に用いていたモデルは深部構造が第三次調査以前のものであり、その後の  
17    知見が反映されていない。一方、今回採用する地震本部（J-SHIS）モデルは最新の知見が反映され  
18    ており、かつ、本県の特性も反映されていることから適切と判断した（表 11）。

19

**黒着色**：中間報告書からの変更点  
(句読点やページ番号の修正、文言の整理など軽微なものを除く。)

1  
2  
3

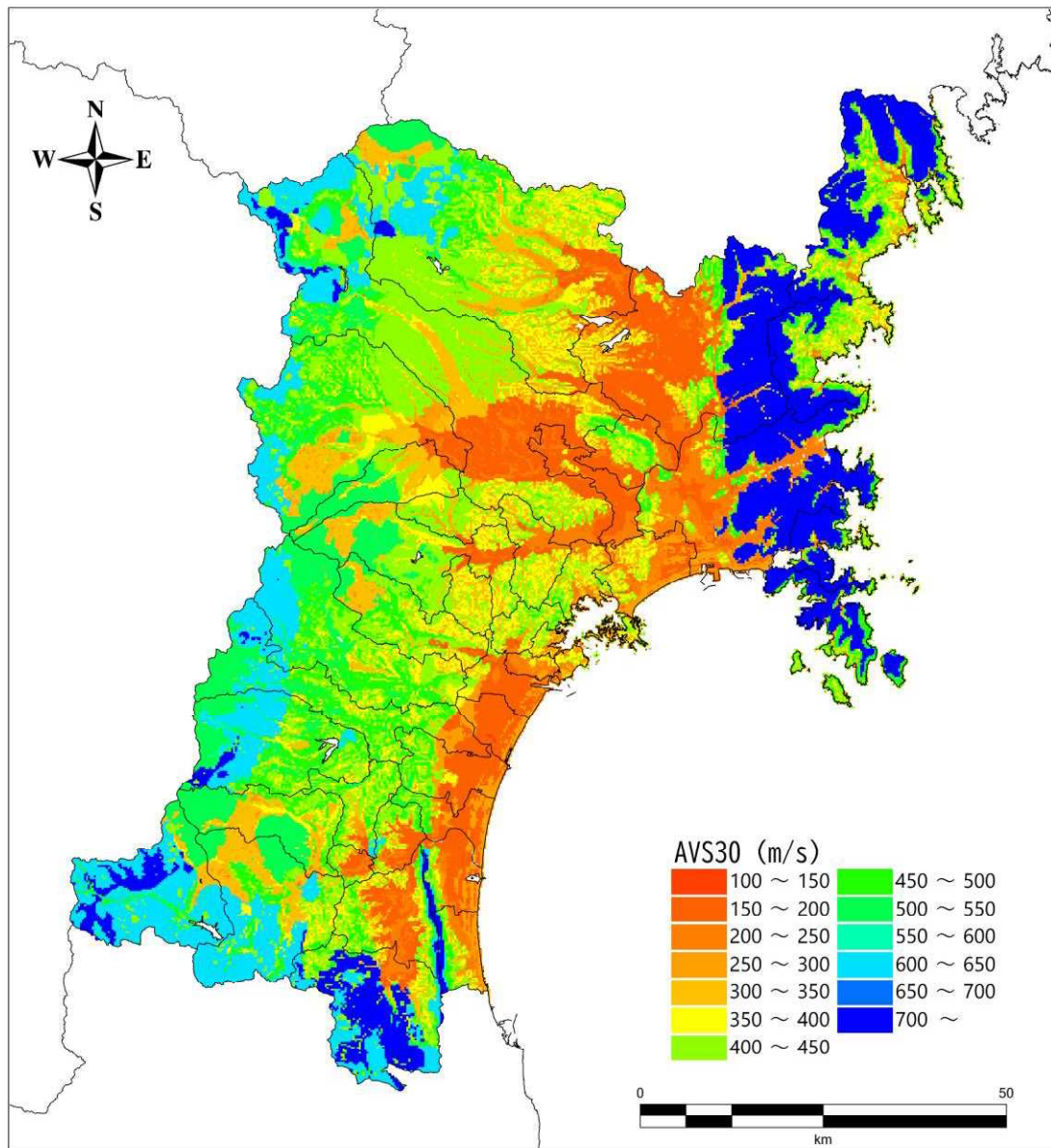


4  
5  
6  
7  
8

図 28 微地形区分（地震本部）

**黒着色**：中間報告書からの変更点  
(句読点やページ番号の修正、文言の整理など軽微なものを除く。)

1  
2  
3

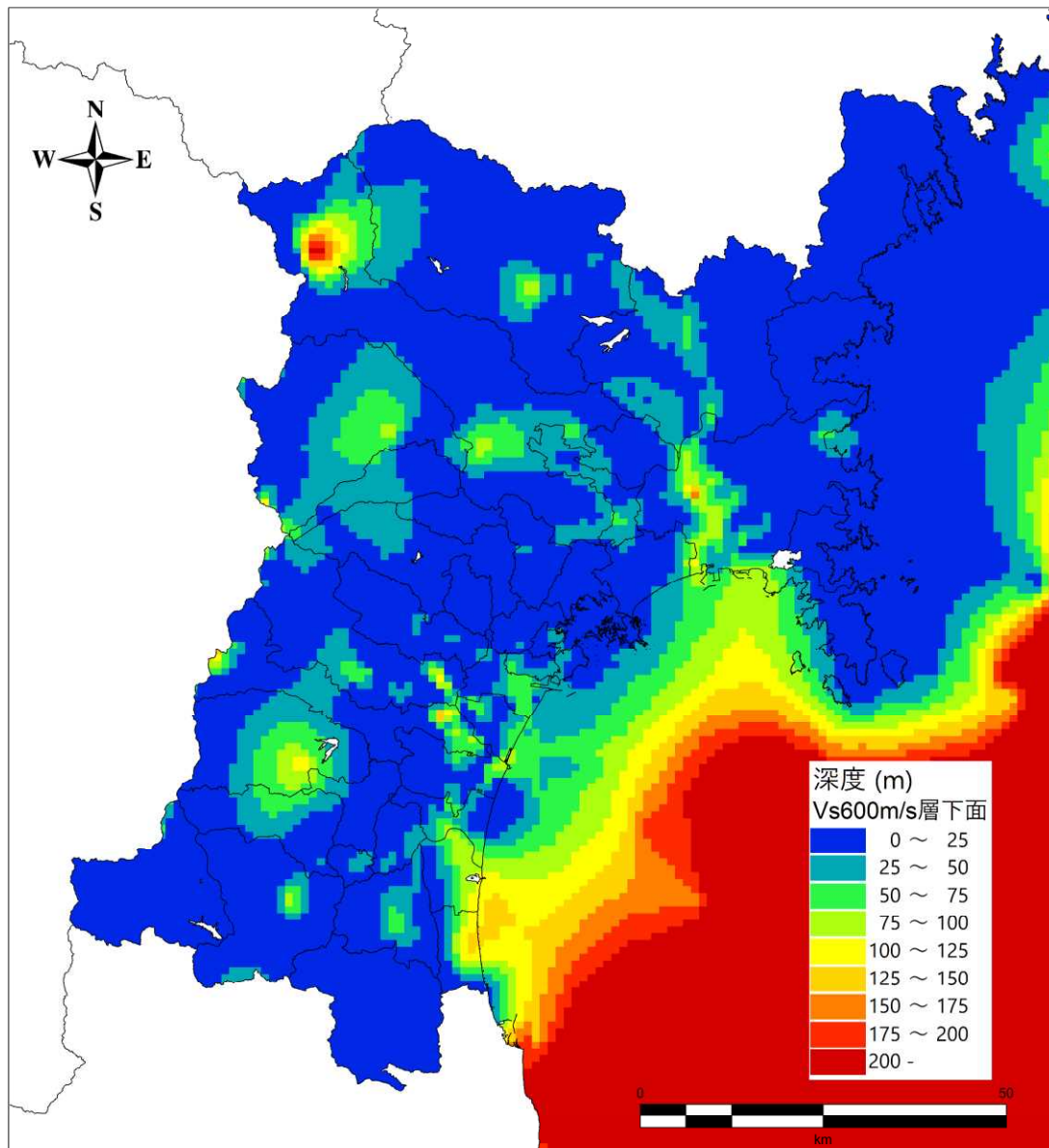


4  
5  
6  
7

図 29 表層 30m 平均 S 波速度(AVS30) (地震本部)

**黒着色**：中間報告書からの変更点  
(句読点やページ番号の修正、文言の整理など軽微なものを除く。)

1  
2  
3

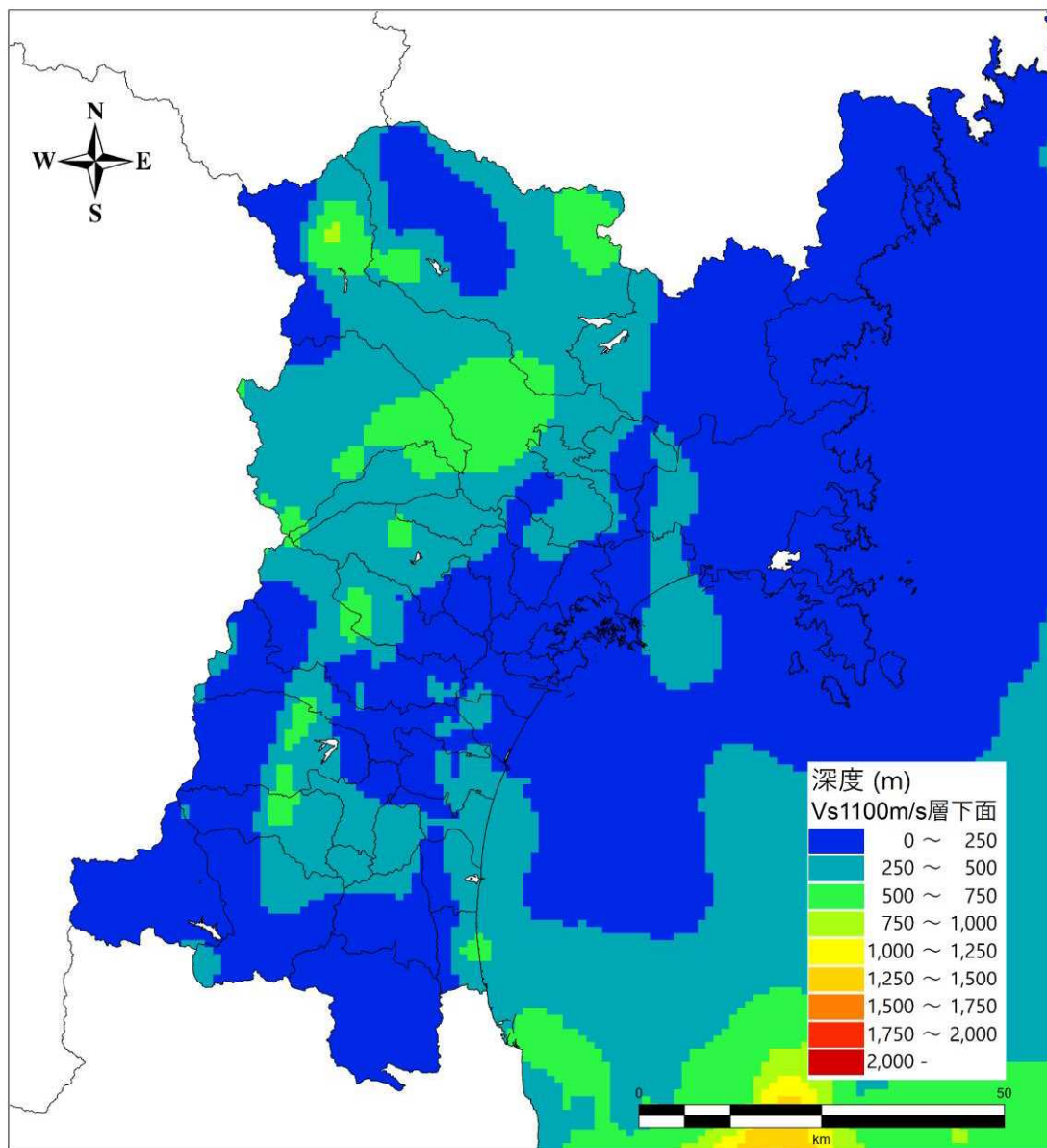


4  
5  
6  
7  
8

図 30 Vs600m/s 層下面 (地震本部)

**黒着色**：中間報告書からの変更点  
(句読点やページ番号の修正、文言の整理など軽微なものを除く。)

1  
2  
3

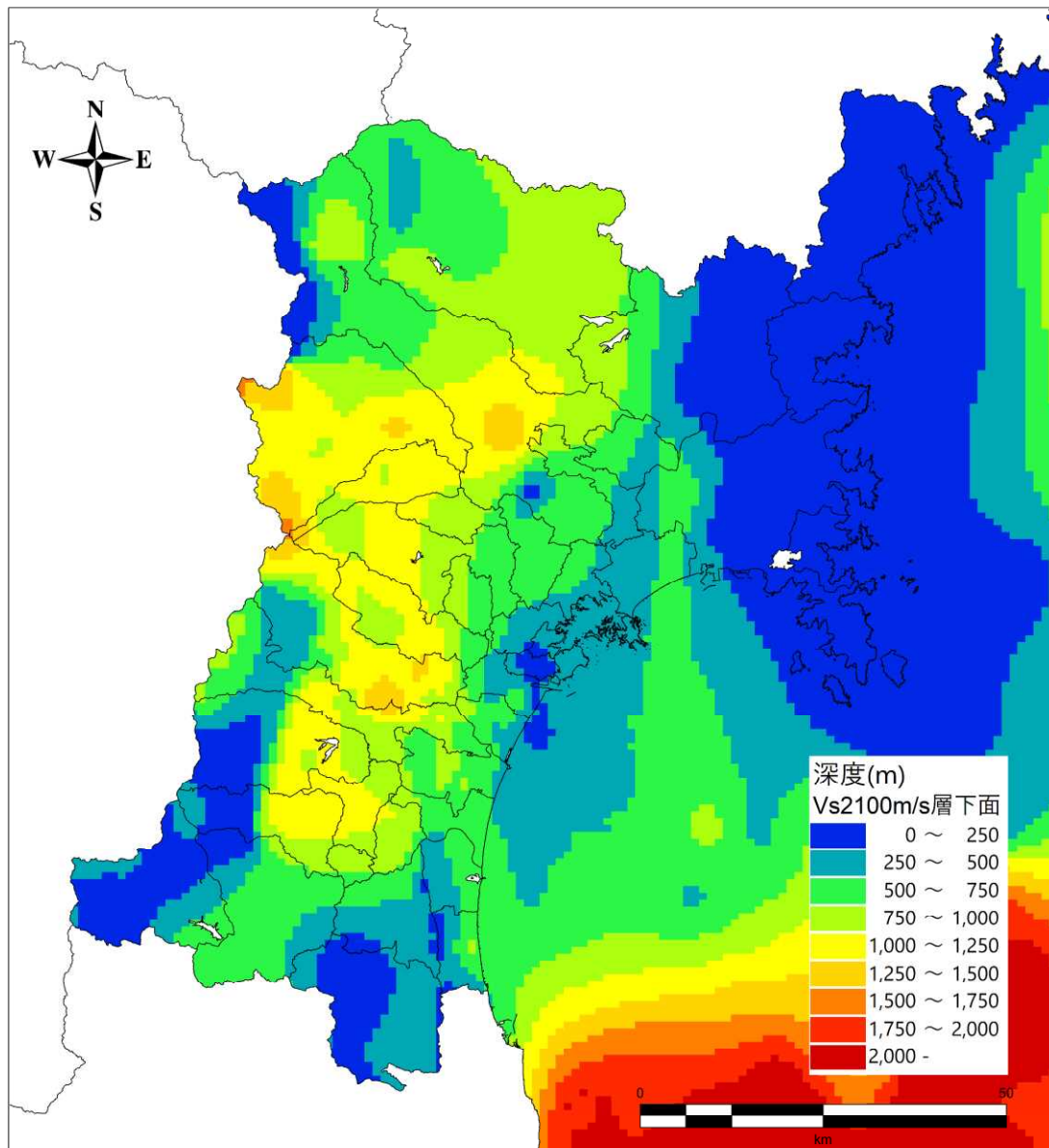


4  
5  
6  
7  
8

図 31 Vs1100m/s 層下面（地震本部）

**黒着色**：中間報告書からの変更点  
(句読点やページ番号の修正、文言の整理など軽微なものを除く。)

1  
2  
3

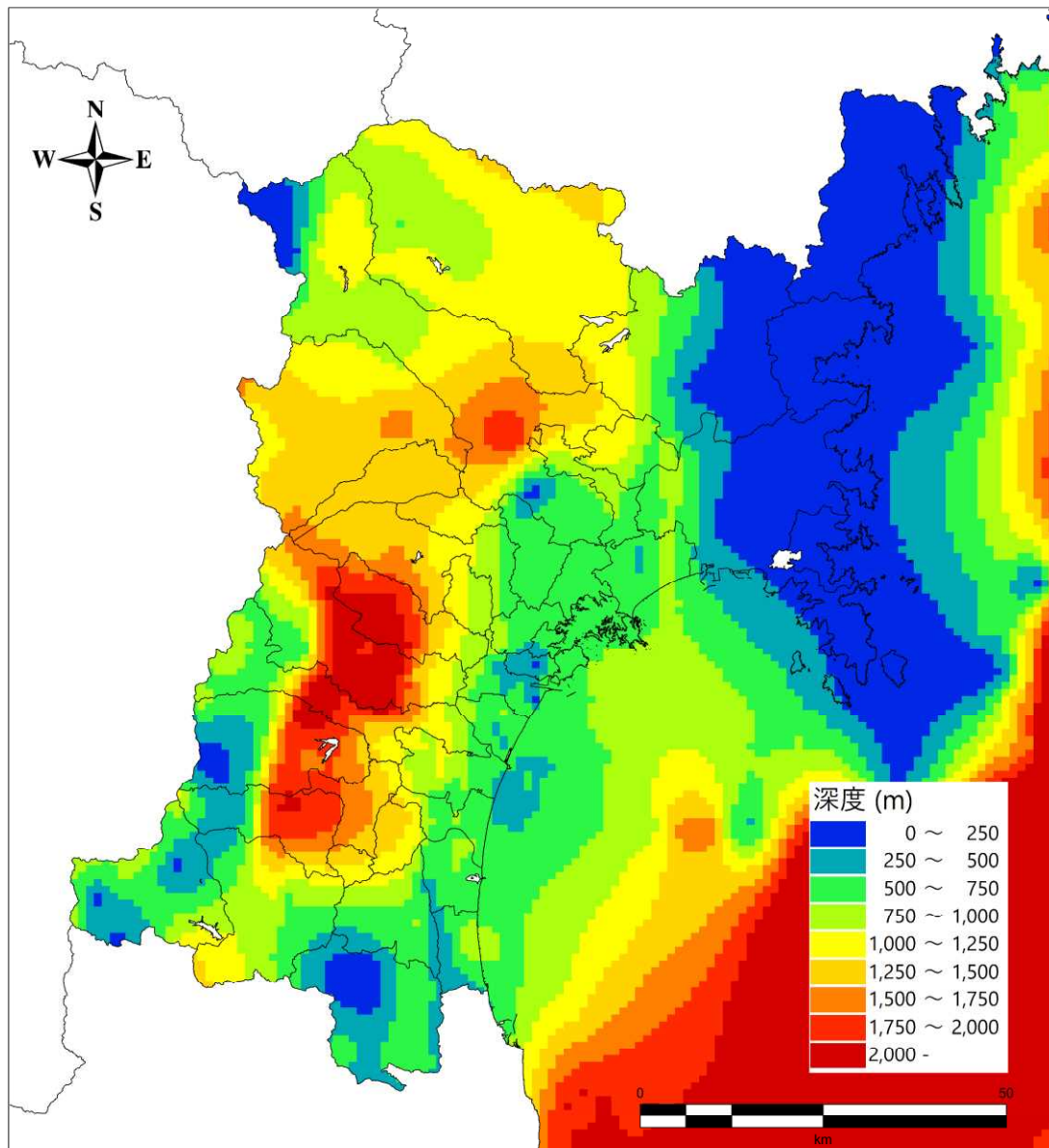


4  
5  
6  
7  
8

図 32 Vs2100m/s 層下面（地震本部）

**黒着色**：中間報告書からの変更点  
(句読点やページ番号の修正、文言の整理など軽微なものを除く。)

1  
2  
3



4  
5  
6  
7  
8

図 33 地震基盤面（地震本部）

**黒着色**：中間報告書からの変更点

(句読点やページ番号の修正、文言の整理など軽微なものを除く。)

表 11 第四次調査との比較

	第四次調査の手法を踏襲した場合	本調査
工学的基盤における波形計算	統計的グリーン関数法	統計的グリーン関数法
地表震度の算出	<ul style="list-style-type: none"><li>工学的基盤波から最大速度を算出</li><li>工学的基盤最大速度とAVS30による増幅率から最大地表速度を算出</li><li>最大地表速度と地表震度の関係式</li></ul>	<ul style="list-style-type: none"><li>工学的基盤波から最大速度を算出</li><li>工学的基盤最大速度とAVS30による増幅率から最大地表速度を算出</li><li>最大地表速度と地表震度の関係式</li></ul>
地盤モデル	<ul style="list-style-type: none"><li>宮城県独自のモデル（浅部・深部）</li></ul>	<ul style="list-style-type: none"><li>地震本部(J-SHIS)モデル（浅部・深部） J-SHIS地図ハザードマップで公開されている「地震動予測地図データ」</li></ul>
利点	<ul style="list-style-type: none"><li>第四次想定と同じ手法である。 <u>(H15の第三次想定を踏襲)</u></li></ul>	<ul style="list-style-type: none"><li>解析手法、地盤モデルは最新の知見に基づく。</li><li>第四次想定との地盤モデルの整合性が高い</li></ul>
欠点	<ul style="list-style-type: none"><li>本県の被害の大部分を占める戸建て住宅の被害想定は可能。</li><li>広帯域（主に長周期側）の地震動が考慮できない。</li><li>第三次から相当期間が経過しており、最新の知見が反映されていない</li></ul>	<ul style="list-style-type: none"><li>本県の被害の大部分を占める戸建て住宅の被害想定は可能。</li><li>広帯域（主に長周期側）の地震動が考慮できない。</li></ul>